



**Puissance et précision
Precisione e potenza**



**Catalogue général
Réducteurs planétaires de précision**

**Catalogo generale
Riduttori epicicloidali di precisione**



Puissance et précision: Deux mots pour un nom - Neugart

Nous sommes heureux de vous présenter la nouvelle édition de notre catalogue général.

Sous la devise « puissance et précision », nous avons rassemblé nos différentes gammes de réducteurs dans un peu plus de 150 pages. Une structure claire et une navigation aisée vous aideront pour une recherche fructueuse.

Un trait particulier pour cette nouvelle édition est certainement la première présentation de la gamme PLV. Le réducteur de précision avec le rallongement du nez de centrage de l'arbre de sortie. Mais n'oubliez pas également, les nouvelles possibilités de combiner nos réducteurs avec des pignons et crémaillères. Avec ces combinaisons, nous sommes ainsi en mesure de vous offrir des systèmes de transmissions mécaniques complets.

Nous pouvons désormais vous offrir huit gammes différentes de réducteurs planétaires, des réducteurs associés à des pignons et des crémaillères.

Nous vous proposons également la fabrication d'engrenages selon vos spécifications.



Bernd Neugart
Directeur Général
Partner di Direzione

Potenza e precisione: Due parole, un solo nome - Neugart

Siamo orgogliosi di presentare l'ultima edizione del nostro catalogo generale, aggiornata ad oggi.

Sotto il motto „Potenza e precisione“ abbiamo raccolto in più di 150 pagine tutte le linee dei nostri riduttori standard. Una struttura semplice e facile da navigare, Vi aiuterà nella vostra ricerca.

Un punto base della nuova edizione è certamente la presentazione della nuova serie PLV. Il riduttore di precisione con la maggiore profondità di centraggio. Ma anche Vi invitiamo a non dimenticare la possibilità di accoppiare i nostri riduttori a pignoni e cremagliere. Con queste combinazioni, siamo in grado di offrire un sistema completo di trasmissione meccanica. Oggi presentiamo sul mercato una linea costituita da otto diversi tipi di riduttori epicicloidali, da combinazioni riduttore/pignone-cremagliera e da riduttori speciali a disegno.

Un altro settore della nostra produzione è costituito da ingranaggi e particolari dentati su specifica del cliente. Entrate nel sito e dateci un'occhiata.



Thomas Herr
Directeur Général
Partner di Direzione



Réducteurs planétaires - jeu réduit
Il riduttore PLF HP ad elevate prestazioni

PLS HP

Le servo-réducteur performant
Il potente servo riduttore

■ Page 5
■ pagina 5



Réducteurs planétaires - jeu réduit
Il riduttore PLF HP ad elevate prestazioni

PLV

Précision au plus haut niveau
La precisione al più alto livello

■ Page 29
■ pagina 29



Réducteurs planétaires avec
renvoi d'angle - jeu réduit
Riduttore epicicloidale angolare
a gioco ridotto

WPLS

Le réducteur à renvoi d'angle complément
de la gamme PLS

La versione angolare dei riduttori PLS

■ Page 59
■ pagina 59



Réducteurs planétaires avec
sortie flasquée - jeu réduit
Riduttore economico flangiato a gioco ridotto

PLF HP

Rigidité, haute performance

et encombrement réduit

L'alta rigidità unita ad elevate prestazioni e ad un
design compatto sono tra le principali caratteristiche
di questa linea.

■ Page 17

■ pagina 17



Réducteurs planétaires - jeu réduit
Il riduttore PLF HP ad elevate prestazioni

PLS

Précision au plus haut niveau
La precisione al più alto livello

■ Page 41
■ pagina 41



Réducteurs planétaires - jeu réduit
Il riduttore PLF HP ad elevate prestazioni

PLE

Gamme économique alternative à la gamme PLS
PLE l'alternativa economica della Serie PLS

■ Page 75

■ pagina 75



Réducteurs planétaires avec sortie flasquée
- gamme économique - jeu réduit
Riduttore economico flangiato a gioco ridotto

PLFE

L'efficience compacte
Compattezza ed efficienza

■ Page 95

■ pagina 95



Réducteurs planétaires avec
renvoi d'angle - jeu réduit
Riduttore epicicloidale angolare
a gioco ridotto

WPLE

Le réducteur à renvoi d'angle complément
de la gamme PLE

La versione angolare dei riduttori PLE

■ Page 107

■ pagina 107



Ensembles pignon / crémaillère PLVR/PLER Combinazione pignone/cremagliera PLVR/PLER

Variété et efficacité
Diverse varianti per elevate prestazioni

■ Page 131

■ pagina 131



Réducteurs spécifiques Riduttori su specifica

Réducteurs selon spécifications clients
Soluzioni personalizzate a disegno

■ Page 146

■ pagina 146



Taillage d'engrenages Ingramaggi

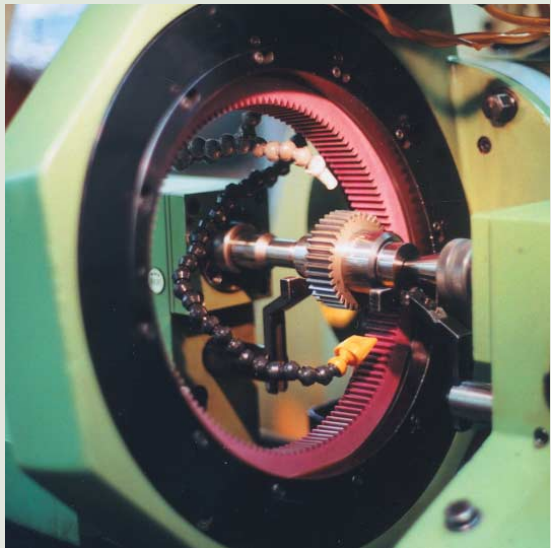
Spécifications variées
Su richiesta in varie configurazioni

■ Page 148

■ pagina 148



Les points forts NEUGART



Engrenages avec finition honée de précision

Les engrenages NEUGART sont traités plasma - cémentés, et finis par process honing après traitement thermique.

Les avantages des engrenages honés :

- précision améliorée
- bruit plus doux et affaibli
- augmentation charge admissible
- Elimination particules d'usure, et non contamination de la graisse, augmentation très limitée du jeu pendant la durée de vie du réducteur. Seule NEUGART fournit des engrenages avec ce niveau de finition.

Ingranaggi di precisione levigati

Dopo essere stati temprati, gli ingranaggi dei riduttori Neugart sono induriti con trattamenti al plasma e levigati. I vantaggi della levigatura sono:

- maggiore precisione
- minori attriti e minore rumorosità
- maggiori coppie in uscita

Si riduce l'usura, in quanto il lubrificante rimane privo di impurità e il gioco sui fianchi dei denti non aumenta praticamente per tutta la vita del riduttore. Solo NEUGART presenta dei riduttori industriali con una finitura di qualità così elevata.



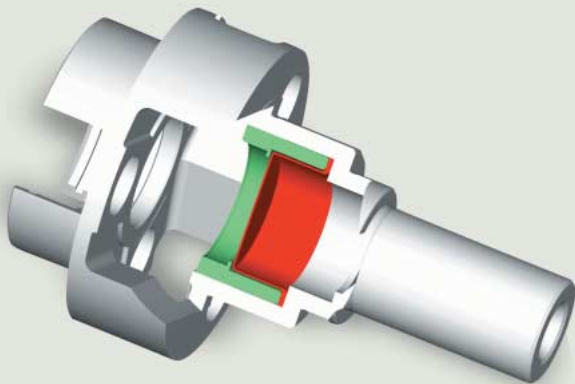
Système serrage de précision PCS®

PCS® - le système de serrage breveté - est le dispositif de serrage le plus évolué de sa catégorie. Les rainures de la pince de serrage, à l'entrée du réducteur, ne sont pas débouchantes; elles constituent ainsi un anneau solide à son extrémité, qui favorise une déformation uniforme de la pince pendant l'opération de serrage de l'arbre moteur.

Cette excellente construction mécanique assure une transmission fiable du couple, et élimine tout faux rond au niveau du pignon solaire solidaire de l'arbre moteur, et permet de réduire le niveau sonore à haute vitesse, et améliore l'équilibre des charges dynamiques du réducteur.

„PCS®“ Sistema di serraggio di precisione

Il sistema di serraggio di precisione „PCS®“ è il dispositivo di serraggio più avanzato della sua categoria. Le scanalature nel sistema „PCS®“ non sono completamente aperte, per via di un solido anello che consente una deformazione omogenea durante il serraggio. La sua straordinaria struttura meccanica garantisce una sicura trasmissione della coppia praticamente senza alcuna deviazione della ruota conica, che rimane innestata nell'albero motore anche ad alta velocità, riducendo il rumore e le sollecitazioni dinamiche irregolari.

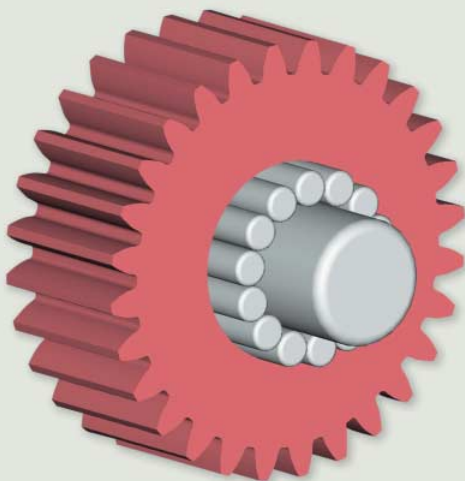


système NIEC®

Le système NIEC® (NIEC = Neugart Integrated Expansion Chamber) permet des intervalles plus longs entre chaque entretien. Les réducteur NEUGART peuvent fonctionner à des régimes et des couples plus élevés ; en outre, le système breveté NIEC® permet des intervalles plus longs entre chaque entretien. Le système NIEC® est un composant standard de la gamme HP, et il est disponible en option pour les gammes S et V.

Il sistema NIEC®

Il Sistema NIEC (Neugart Integrated Expansion Chamber) impedisce che si verifichino aumenti di pressione, prolungando la vita delle guarnizioni e consentendo un elevato numero di giri in entrata. I riduttori Neugart possono funzionare con numero di giri e coppie più elevate; il Sistema NIEC® aumenta inoltre gli intervalli di manutenzione. Il Sistema NIEC® è un componente standard sulla serie HP ed è opzionale per le serie di precisione.



Roulements de satellites à aiguilles massives

Les satellites sont montés avec des « roulements à aiguilles massifs » à grande densité. Cette construction est utilisée en série sur les gammes HP, S, V, et également maintenant sur les différentes séries E. Elle permet d'obtenir une meilleure résistance aux charges, des couples plus élevés, et une durée de vie dépassant 30.000 heures.

Cuscinetti a pieno riempimento

Tutti gli ingranaggi planetari Neugart sono supportati da „cuscinetti a pieno riempimento“ che presentano un'elevata compattanza. Questo speciale elemento garantisce un'alta resistenza alle sollecitazioni, una maggiore coppia trasmissibile ed una più lunga durata di servizio con oltre 30.000 ore.

Série PLE

Une alternative raisonnable et économique



- jeu réduit
- couple de sortie élevé
- PCS-2 breveté
- rendement élevé (96%)
- 22 rapports i=3,...,512
- bruit réduit
- haute qualité (ISO 9001)
- toute position de montage possible
- montage simple du moteur
- lubrifié à vie
- plus d'options
- Sens de rotation : même sens

Serie PLE

L'alternativa ragionevolmente economica

La série PLE est l'alternative économique à la série PLS. Cette série a été développée pour les applications qui ne demandent pas un jeu très réduit.

La serie PLE è l'alternativa economica dei riduttori della linea PLS. Questa famiglia è stata sviluppata per quelle applicazioni dove non sia richiesta una precisione elevata.

- gioco ridotto
- elevata coppia di uscita
- PCS-2 System
- alto rendimento (96%)
- 22 rapporti i=3,...,512
- silenziosità di funzionamento
- alta qualità (ISO 9001)
- qualsiasi posizione di montaggio
- facilità di montaggio del motore
- lubrificazione a vita
- altre opzioni
- Rotazione nella stessa direzione

| | | |
|----|--|--|
| 1 | Données techniques Dati tecnici | Page 76 pagina 76 |
| 2 | Dimensions Dimensioni | Page 84 pagina 84 |
| 3 | Options Opzioni | Page 86 pagina 86 |
| 4 | Possibilités de montage du moteur Tipi possibili di montaggio motore | Page 89 pagina 89 |
| 5 | Calcul de la durée de vie Calcolo vita | Page 90 pagina 90 |
| 6 | Vue en coupe Disegno in sezione | Page 91 pagina 91 |
| 7 | Désignation commande Codice di ordinazione | Page 92 pagina 92 |
| 8 | Instructions de montage du moteur Istruzioni di montaggio | Page 93 pagina 93 |
| 9 | Sélection des réducteurs Dimensionamento riduttore | Page 125 pagina 126 |
| 10 | Table de conversion Tabella di conversione | Page 129 pagina 130 |
| 11 | Dessins CAO, fiches des dimensions Disegni su CAD, fogli dimensionali | www.neugart.de www.neugart.de |

Série PLE

Données techniques

Serie PLE

Dati tecnici



| Taille | Taglia | | PLE 40 | PLE 60 | PLE 80 | PLE 120 | PLE 160 | i ⁽¹⁾ | Z ⁽²⁾ |
|--|---|----|--------|--------|--------|---------|---------|------------------|------------------|
| couple de sortie nominal $T_{2N}^{(3)(4)(5)}$ | Coppia nominale in uscita $T_{2N}^{(3)(4)(5)}$ | Nm | 11 | 28 | 85 | 115 | 400 | 3 | 1 |
| | | | 15 | 38 | 115 | 155 | 450 | 4 | |
| | | | 14 | 40 | 110 | 195 | 450 | 5 | |
| | | | 6 | 18 | 50 | 120 | 450 | 8 | |
| | | | 16,5 | 44 | 130 | 210 | - | 9 | 2 |
| | | | 20 | 44 | 120 | 260 | 800 | 12 | |
| | | | 18 | 44 | 110 | 230 | 700 | 15 | |
| | | | 20 | 44 | 120 | 260 | 800 | 16 | |
| | | | 20 | 44 | 120 | 260 | 800 | 20 | |
| | | | 18 | 40 | 110 | 230 | 700 | 25 | |
| | | | 20 | 44 | 120 | 260 | 800 | 32 | |
| | | | 18 | 40 | 110 | 230 | 700 | 40 | |
| | | | 7,5 | 18 | 50 | 120 | 450 | 64 | |
| | | | 20 | 44 | 110 | 260 | - | 60 | 3 |
| | | | 20 | 44 | 120 | 260 | - | 80 | |
| | | | 20 | 44 | 120 | 260 | - | 100 | |
| | | | 18 | 44 | 110 | 230 | - | 120 | |
| | | | 20 | 44 | 120 | 260 | - | 160 | |
| | | | 18 | 40 | 110 | 230 | - | 200 | |
| | | | 20 | 44 | 120 | 260 | - | 256 | |
| | | | 18 | 40 | 110 | 230 | - | 320 | |
| | | | 7,5 | 18 | 50 | 120 | - | 512 | |

| Taille | Taglia | | PLE 40 | PLE 60 | PLE 80 | PLE 120 | PLE 160 | i ⁽¹⁾ | Z ⁽²⁾ |
|---|--|----|--------|--------|--------|---------|---------|------------------|------------------|
| couple maximal de sortie ⁽³⁾⁽⁴⁾⁽⁵⁾⁽⁶⁾ | Coppia max in uscita ⁽³⁾⁽⁴⁾⁽⁵⁾⁽⁶⁾ | Nm | 17,6 | 45 | 136 | 184 | 640 | 3 | 1 |
| | | | 24 | 61 | 184 | 248 | 720 | 4 | |
| | | | 22 | 64 | 176 | 312 | 720 | 5 | |
| | | | 10 | 29 | 80 | 192 | 720 | 8 | |
| | | | 26 | 70 | 208 | 336 | - | 9 | 2 |
| | | | 32 | 70 | 192 | 416 | 1280 | 12 | |
| | | | 29 | 70 | 176 | 368 | 1120 | 15 | |
| | | | 32 | 70 | 192 | 416 | 1280 | 16 | |
| | | | 32 | 70 | 192 | 416 | 1280 | 20 | |
| | | | 29 | 64 | 176 | 368 | 1120 | 25 | |
| | | | 32 | 70 | 192 | 416 | 1280 | 32 | |
| | | | 29 | 64 | 176 | 368 | 1120 | 40 | |
| | | | 12 | 29 | 80 | 192 | 720 | 64 | |
| | | | 32 | 70 | 176 | 416 | - | 60 | 3 |
| | | | 32 | 70 | 192 | 416 | - | 80 | |
| | | | 32 | 70 | 192 | 416 | - | 100 | |
| | | | 29 | 70 | 176 | 368 | - | 120 | |
| | | | 32 | 70 | 192 | 416 | - | 160 | |
| | | | 29 | 64 | 176 | 368 | - | 200 | |
| | | | 32 | 70 | 192 | 416 | - | 256 | |
| | | | 29 | 64 | 176 | 368 | - | 320 | |
| | | | 12 | 29 | 80 | 192 | - | 512 | |

⁽¹⁾ rapports($i=n_{an}/n_{ab}$)

⁽²⁾ nombre d'étages

⁽³⁾ les données se rapportent à une vitesse d'entraînement de $n_2=100\text{min}^{-1}$, avec un facteur d'utilisation $K_A=1$ un mode opératoire S1 pour appareils électriques et $T=30^\circ\text{C}$

⁽⁴⁾ en référence au diamètre de l'arbre

⁽⁵⁾ avec clavette : en charge pulsatoire

⁽⁶⁾ admissible pour 30000 tours de l'arbre de sortie ; voir page 127

⁽¹⁾ rapporti($i=n_{an}/n_{ab}$)

⁽²⁾ numero di stadi

⁽³⁾ i dati si riferiscono ad un numero di giri dell'albero di uscita di $n_2=100\text{min}^{-1}$, un fattore di applicazione $K_A=1$, modo operativo S1 per macchine elettriche, $T=30^\circ\text{C}$

⁽⁴⁾ riferito al diametro dell'albero motore

⁽⁵⁾ con chiavetta, senza inversione di moto

⁽⁶⁾ consentito per 30.000 rivoluzioni dell'albero di uscita, vedere pagina 128

Série PLE

Données techniques

Serie PLE

Dati tecnici

| Taille | Taglia | | PLE 60/70 | PLE 80/90 | PLE 120/115 | i ⁽¹⁾ | Z ⁽²⁾ |
|--|---|----|-----------|-----------|-------------|------------------|------------------|
| couple de sortie nominal $T_{2N}^{(3)(4)(5)}$ | Coppia nominale in uscita $T_{2N}^{(3)(4)(5)}$ | Nm | 28 | 85 | 115 | 3 | 1 |
| | | | 38 | 115 | 155 | 4 | |
| | | | 40 | 110 | 195 | 5 | |
| | | | 18 | 50 | 120 | 8 | |
| | | | 44 | 130 | 210 | 9 | 2 |
| | | | 44 | 120 | 260 | 12 | |
| | | | 44 | 110 | 230 | 15 | |
| | | | 44 | 120 | 260 | 16 | |
| | | | 44 | 120 | 260 | 20 | 3 |
| | | | 40 | 110 | 230 | 25 | |
| | | | 44 | 120 | 260 | 32 | |
| | | | 40 | 110 | 230 | 40 | |
| | | | 18 | 50 | 120 | 64 | |
| | | | 44 | 110 | 260 | 60 | 1 |
| | | | 44 | 120 | 260 | 80 | |
| | | | 44 | 120 | 260 | 100 | |
| | | | 44 | 110 | 230 | 120 | |
| | | | 44 | 120 | 260 | 160 | 2 |
| | | | 40 | 110 | 230 | 200 | |
| | | | 44 | 120 | 260 | 256 | |
| | | | 40 | 110 | 230 | 320 | |
| | | | 18 | 50 | 120 | 512 | |

| Taille | Taglia | | PLE 60/70 | PLE 80/90 | PLE 120/115 | i ⁽¹⁾ | Z ⁽²⁾ |
|---|--|----|-----------|-----------|-------------|------------------|------------------|
| couple maximal de sortie ⁽³⁾⁽⁴⁾⁽⁵⁾⁽⁶⁾ | Coppia max in uscita ⁽³⁾⁽⁴⁾⁽⁵⁾⁽⁶⁾ | Nm | 45 | 136 | 184 | 3 | 1 |
| | | | 61 | 184 | 248 | 4 | |
| | | | 64 | 176 | 312 | 5 | |
| | | | 29 | 80 | 192 | 8 | |
| | | | 70 | 208 | 336 | 9 | 2 |
| | | | 70 | 192 | 416 | 12 | |
| | | | 70 | 176 | 368 | 15 | |
| | | | 70 | 192 | 416 | 16 | |
| | | | 70 | 192 | 416 | 20 | 3 |
| | | | 64 | 176 | 368 | 25 | |
| | | | 70 | 192 | 416 | 32 | |
| | | | 64 | 176 | 368 | 40 | |
| | | | 29 | 80 | 192 | 64 | |
| | | | 70 | 176 | 416 | 60 | 1 |
| | | | 70 | 192 | 416 | 80 | |
| | | | 70 | 192 | 416 | 100 | |
| | | | 70 | 176 | 368 | 120 | |
| | | | 70 | 192 | 416 | 160 | 2 |
| | | | 64 | 176 | 368 | 200 | |
| | | | 70 | 192 | 416 | 256 | |
| | | | 64 | 176 | 368 | 320 | |
| | | | 29 | 80 | 192 | 512 | |

⁽¹⁾ rapports($i=n_{an}/n_{ab}$)

⁽²⁾ nombre d'étages

⁽³⁾ les données se rapportent à une vitesse d'entraînement de $n_2=100\text{min}^{-1}$, avec un facteur d'utilisation $K_A=1$ un mode opératoire S1 pour appareils électriques et $T=30^\circ\text{C}$

⁽⁴⁾ en référence au diamètre de l'arbre

⁽⁵⁾ avec clavette : en charge pulsatoire

⁽⁶⁾ admissible pour 30000 tours de l'arbre de sortie ; voir page 127

⁽¹⁾ rapporti($i=n_{an}/n_{ab}$)

⁽²⁾ numero di stadi

⁽³⁾ i dati si riferiscono ad un numero di giri dell'albero di uscita di $n_2=100\text{min}^{-1}$, un fattore di applicazione $K_A=1$, modo operativo S1 per macchine elettriche, $T=30^\circ\text{C}$

⁽⁴⁾ riferito al diametro dell'albero motore

⁽⁵⁾ con chiavetta, senza inversione di moto

⁽⁶⁾ consentito per 30.000 rivoluzioni dell'albero di uscita, vedere pagina 128

Série PLE

Données techniques

Serie PLE

Dati tecnici



| Série | Serie | | PLE | | | Z ⁽¹⁾ |
|--|---|----|---|--|--|------------------|
| durée de vie | Vita | h | 30.000 | | | |
| arrêt d'urgence ⁽⁶⁾ | Stop di emergenza ⁽⁶⁾ | Nm | 2 - fois T _{2N} /2 - volte T _{2N} | | | |
| rendement à pleine charge ⁽⁷⁾ | Rendimento a pieno carico ⁽⁷⁾ | % | 96 | | | 1 |
| | | | 94 | | | 2 |
| | | | 90 | | | 3 |
| température d'utilisation mini. ⁽⁴⁾ | Temp. minima di esercizio ⁽⁴⁾ | °C | -25 | | | |
| température d'utilisation max. ⁽⁴⁾ | Temp. massima di esercizio ⁽⁴⁾ | | +90 | | | |
| classe de protection | Grado di protezione | | IP 54 | | | |
| lubrification | Lubrificazione | | lubrifié à vie /lubrificazione a vita | | | |
| position de montage | Posizione di montaggio | | toutes /qualsiasi | | | |
| précision flasque moteur | precisione della flangia del motore | | DIN 42955-N | | | |

| Taille | Taglia | | PLE 40 | PLE 60 | PLE 80 | PLE 120 | PLE 160 | Z ⁽¹⁾ |
|--|---|-------------------|--------|--------|--------|---------|---------|------------------|
| jeu | gioco | arcmin | < 24 | < 16 | < 9 | < 8 | < 6 | 1 |
| | | | < 28 | < 20 | < 14 | < 12 | < 10 | 2 |
| | | | < 30 | < 22 | < 16 | < 14 | - | 3 |
| Fr _{max.} pour 10.000 h ⁽²⁾⁽³⁾ | Fr _{max.} per 10.000 h ⁽²⁾⁽³⁾ | N | 200 | 500 | 950 | 2000 | 6000 | |
| Fa _{max.} pour 10.000 h ⁽²⁾⁽³⁾ | Fa _{max.} per 10.000 h ⁽²⁾⁽³⁾ | | 200 | 600 | 1200 | 2800 | 8000 | |
| Fr _{max.} pour 30.000 h ⁽²⁾⁽³⁾ | Fr _{max.} per 30.000 h ⁽²⁾⁽³⁾ | | 160 | 340 | 650 | 1500 | 4200 | |
| Fa _{max.} pour 30.000 h ⁽²⁾⁽³⁾ | Fa _{max.} per 30.000 h ⁽²⁾⁽³⁾ | | 160 | 450 | 900 | 2100 | 6000 | |
| rigidité torsionnelle | rigidità torsionale | Nm / arcmin | 1,0 | 2,3 | 6 | 12 | 38 | 1 |
| | | | 1,1 | 2,5 | 6,5 | 13 | 41 | 2 |
| | | | 1,0 | 2,5 | 6,3 | 12 | - | 3 |
| poids | peso | kg | 0,35 | 0,9 | 2,1 | 6,0 | 18 | 1 |
| | | | 0,45 | 1,1 | 2,6 | 8,0 | 22 | 2 |
| | | | 0,55 | 1,3 | 3,1 | 10,0 | - | 3 |
| niveau sonore ⁽⁵⁾ | rumorosità di funzionamento ⁽⁵⁾ | dB(A) | 58 | 58 | 60 | 65 | 70 | |
| vitesse en entrée max. ⁽⁸⁾ | Velocità massima in ingresso ⁽⁸⁾ | min ⁻¹ | 18000 | 13000 | 7000 | 6500 | 6500 | |

⁽¹⁾ nombre d'étages

⁽²⁾ les données se rapportent à une vitesse d'entraînement de n₂=100min⁻¹, avec un facteur d'utilisation K_A=1 un mode opératoire S1 pour appareils électriques et T=30°C

⁽³⁾ par rapport au milieu du carter

⁽⁴⁾ au milieu de l'arbre de sortie

⁽⁵⁾ niveau de pression acoustique; distance 1 m; mesuré sans charge avec une vitesse d'entrée de n₁=3000 min⁻¹; i=5

⁽⁶⁾ admis 500 fois

⁽⁷⁾ fonction du rapport de réduction

⁽⁸⁾ la température maximale d'utilisation ne doit pas être dépassée; autres vitesses d'entrée sur demande

⁽¹⁾ numero di stadi

⁽²⁾ i dati si riferiscono ad un numero di giri dell'albero di uscita di n₂=100min⁻¹ , un fattore di applicazione K_A=1 , modo operativo S1 per macchine elettriche, T=30°C

⁽³⁾ riferito al centro dell' albero di uscita

⁽⁴⁾ riferito alla metà del riduttore

⁽⁵⁾ livello di rumore; distanza di 1 mt; misurato a vuoto con velocità di ingresso n1=3000 min⁻¹; i=5

⁽⁶⁾ consentito x 500 volte

⁽⁷⁾ in funzione del rapporto di trasmissione

⁽⁸⁾ la temperatura di funzionamento permessa deve essere mantenuta; altre velocità d'ingresso a richiesta

Série PLE

Données techniques

Serie PLE

Dati tecnici

| Série | Serie | | PLE | | | Z ⁽¹⁾ |
|--|---|----|---|--|--|------------------|
| durée de vie | Vita | h | 30.000 | | | |
| arrêt d'urgence ⁽⁶⁾ | Stop di emergenza ⁽⁶⁾ | Nm | 2 - fois T _{2N} /2 - volte T _{2N} | | | |
| rendement à pleine charge ⁽⁷⁾ | Rendimento a pieno carico ⁽⁷⁾ | % | 96 | | | 1 |
| | | | 94 | | | 2 |
| | | | 90 | | | 3 |
| température d'utilisation mini. ⁽⁴⁾ | Temp. minima di esercizio ⁽⁴⁾ | | -25 | | | |
| température d'utilisation max. ⁽⁴⁾ | Temp. massima di esercizio ⁽⁴⁾ | °C | +90 | | | |
| classe de protection | Grado di protezione | | IP 54 | | | |
| lubrification | Lubrificazione | | lubrifié à vie /lubrificazione a vita | | | |
| position de montage | Posizione di montaggio | | toutes /qualsiasi | | | |
| précision flasque moteur | precisione della flangia del motore | | DIN 42955-N | | | |

| Taille | Taglia | | PLE 60/70 | PLE 80/90 | PLE 120/115 | Z ⁽¹⁾ |
|--|---|-------------------|-----------|-----------|-------------|------------------|
| jeu | gioco | arcmin | < 16 | < 9 | < 8 | 1 |
| | | | < 20 | < 14 | < 12 | 2 |
| | | | < 22 | < 16 | < 14 | 3 |
| Fr _{max.} pour 10.000 h ⁽²⁾⁽³⁾ | Fr _{max.} per 10.000 h ⁽²⁾⁽³⁾ | N | 1000 | 2500 | 3500 | |
| Fa _{max.} pour 10.000 h ⁽²⁾⁽³⁾ | Fa _{max.} per 10.000 h ⁽²⁾⁽³⁾ | | 1200 | 2800 | 2800 | |
| Fr _{max.} pour 30.000 h ⁽²⁾⁽³⁾ | Fr _{max.} per 30.000 h ⁽²⁾⁽³⁾ | | 700 | 1700 | 2400 | |
| Fa _{max.} pour 30.000 h ⁽²⁾⁽³⁾ | Fa _{max.} per 30.000 h ⁽²⁾⁽³⁾ | | 800 | 2000 | 2100 | |
| rigidité torsionnelle | rigidità torsionale | Nm / arcmin | 2,3 | 6 | 12 | 1 |
| | | | 2,5 | 6,5 | 13 | 2 |
| | | | 2,5 | 6,3 | 12 | 3 |
| poids | peso | kg | 1,1 | 3,2 | 6,6 | 1 |
| | | | 1,3 | 3,7 | 8,6 | 2 |
| | | | 1,5 | 4,2 | 10,6 | 3 |
| niveau sonore ⁽⁵⁾ | rumorosità di funzionamento ⁽⁵⁾ | dB(A) | 58 | 60 | 65 | |
| vitesse en entrée max. ⁽⁸⁾ | Velocità massima in ingresso ⁽⁸⁾ | min ⁻¹ | 13000 | 7000 | 6500 | |

⁽¹⁾ nombre d'étages

⁽²⁾ les données se rapportent à une vitesse d'entraînement de n₂=100min⁻¹, avec un facteur d'utilisation K_A=1 un mode opératoire S1 pour appareils électriques et T=30°C

⁽³⁾ par rapport au milieu du carter

⁽⁴⁾ au milieu de l'arbre de sortie

⁽⁵⁾ niveau de pression acoustique; distance 1 m; mesuré sans charge avec une vitesse d'entrée de n₁=3000 min⁻¹; i=5

⁽⁶⁾ admis 500 fois

⁽⁷⁾ fonction du rapport de réduction

⁽⁸⁾ la température maximale d'utilisation ne doit pas être dépassée; autres vitesses d'entrée sur demande

⁽¹⁾ numero di stadi

⁽²⁾ i dati si riferiscono ad un numero di giri dell'albero di uscita di n₂=100min⁻¹ , un fattore di applicazione K_A=1 , modo operativo S1 per macchine elettriche, T=30°C

⁽³⁾ riferito al centro dell' albero di uscita

⁽⁴⁾ riferito alla metà del riduttore

⁽⁵⁾ livello di rumore; distanza di 1 mt; misurato a vuoto con velocità di ingresso n₁=3000 min⁻¹; i=5

⁽⁶⁾ consentito x 500 volte

⁽⁷⁾ in funzione del rapporto di trasmissione

⁽⁸⁾ la temperatura di funzionamento permessa deve essere mantenuta; altre velocità d'ingresso a richiesta

| Taille | Taglia | | PLE 40 | PLE 60 | PLE 80 | PLE 120 | PLE 160 | i ⁽¹⁾ |
|--|--|-------------------|--------|--------|--------|---------|---------|------------------|
| Vitesse d'entrée recommandée 50% T _{2N} et S1 ⁽²⁾⁽³⁾ | Velocità in ingresso consigliate col 50% di T _{2N} e S1 ⁽²⁾⁽³⁾ | min ⁻¹ | 5000 | 4500 | 3900 | 3500 | 1700 | 3 |
| | | | 5000 | 4500 | 3650 | 3500 | 1700 | 4 |
| | | | 5000 | 4500 | 4000 | 3500 | 2000 | 5 |
| | | | 5000 | 4500 | 4000 | 3500 | 2900 | 8 |
| | | | 5000 | 4500 | 4000 | 3500 | - | 9 |
| | | | 5000 | 4500 | 4000 | 3500 | 1950 | 12 |
| | | | 5000 | 4500 | 4000 | 3500 | 2600 | 15 |
| | | | 5000 | 4500 | 4000 | 3500 | 2300 | 16 |
| | | | 5000 | 4500 | 4000 | 3500 | 2700 | 20 |
| | | | 5000 | 4500 | 4000 | 3500 | 3000 | 25 |
| | | | 5000 | 4500 | 4000 | 3500 | 3000 | 32 |
| | | | 5000 | 4500 | 4000 | 3500 | 3000 | 40 |
| | | | 5000 | 4500 | 4000 | 3500 | - | 60 |
| | | | 5000 | 4500 | 4000 | 3500 | 3000 | 64 |
| | | | 5000 | 4500 | 4000 | 3500 | - | 80 |
| | | | 5000 | 4500 | 4000 | 3500 | - | 100 |
| | | | 5000 | 4500 | 4000 | 3500 | - | 120 |
| | | | 5000 | 4500 | 4000 | 3500 | - | 160 |
| | | | 5000 | 4500 | 4000 | 3500 | - | 200 |
| | | | 5000 | 4500 | 4000 | 3500 | - | 256 |
| | | | 5000 | 4500 | 4000 | 3500 | - | 320 |
| | | | 5000 | 4500 | 4000 | 3500 | - | 512 |

| Taille | Taglia | | PLE 40 | PLE 60 | PLE 80 | PLE 120 | PLE 160 | i ⁽¹⁾ |
|---|---|-------------------|--------|--------|--------|---------|---------|------------------|
| Vitesse d'entrée recommandée 100% T _{2N} et S1 ⁽²⁾⁽³⁾ | Velocità in ingresso consigliate col 100% di T _{2N} e S1 ⁽²⁾⁽³⁾ | min ⁻¹ | 5000 | 4450 | 2400 | 2500 | 1000 | 3 |
| | | | 5000 | 4400 | 2150 | 2250 | 1000 | 4 |
| | | | 5000 | 4500 | 2650 | 2250 | 1150 | 5 |
| | | | 5000 | 4500 | 4000 | 3500 | 1750 | 8 |
| | | | 5000 | 4500 | 2700 | 2500 | - | 9 |
| | | | 5000 | 4500 | 3450 | 2500 | 1050 | 12 |
| | | | 5000 | 4500 | 4000 | 3250 | 1450 | 15 |
| | | | 5000 | 4500 | 4000 | 3000 | 1200 | 16 |
| | | | 5000 | 4500 | 4000 | 3500 | 1500 | 20 |
| | | | 5000 | 4500 | 4000 | 3500 | 2050 | 25 |
| | | | 5000 | 4500 | 4000 | 3500 | 2250 | 32 |
| | | | 5000 | 4500 | 4000 | 3500 | 2950 | 40 |
| | | | 5000 | 4500 | 4000 | 3500 | - | 60 |
| | | | 5000 | 4500 | 4000 | 3500 | 3000 | 64 |
| | | | 5000 | 4500 | 4000 | 3500 | - | 80 |
| | | | 5000 | 4500 | 4000 | 3500 | - | 100 |
| | | | 5000 | 4500 | 4000 | 3500 | - | 120 |
| | | | 5000 | 4500 | 4000 | 3500 | - | 160 |
| | | | 5000 | 4500 | 4000 | 3500 | - | 200 |
| | | | 5000 | 4500 | 4000 | 3500 | - | 256 |
| | | | 5000 | 4500 | 4000 | 3500 | - | 320 |
| | | | 5000 | 4500 | 4000 | 3500 | - | 512 |

⁽¹⁾ rapports(i=n_{an}/n_{ab})

⁽²⁾ la température d'utilisation maximale ne doit pas être dépassée; autres vitesses d'entrée sur demande

⁽³⁾ Définition, voir page 129

⁽¹⁾ rapporti(i=n_{an}/n_{ab})

⁽²⁾ occorre rimanere entro le temperature ammesse; altre velocità d'ingresso a richiesta

⁽³⁾ definizione a pagina 130

Série PLE

Données techniques

Serie PLE

Dati tecnici

| Taille | Taglia | | PLE 60/70 | PLE 80/90 | PLE 120/115 | i ⁽¹⁾ |
|--|--|-------------------|-----------|-----------|-------------|------------------|
| Vitesse d'entrée recommandée 50% T _{2N} et S ₁ ⁽²⁾⁽³⁾ | Velocità in ingresso consigliate col 50% di T _{2N} e S ₁ ⁽²⁾⁽³⁾ | min ⁻¹ | 4500 | 3350 | 3500 | 3 |
| | | | 4500 | 3250 | 3500 | 4 |
| | | | 4500 | 3900 | 3500 | 5 |
| | | | 4500 | 4000 | 3500 | 8 |
| | | | 4500 | 4000 | 3500 | 9 |
| | | | 4500 | 4000 | 3500 | 12 |
| | | | 4500 | 4000 | 3500 | 15 |
| | | | 4500 | 4000 | 3500 | 16 |
| | | | 4500 | 4000 | 3500 | 20 |
| | | | 4500 | 4000 | 3500 | 25 |
| | | | 4500 | 4000 | 3500 | 32 |
| | | | 4500 | 4000 | 3500 | 40 |
| | | | 4500 | 4000 | 3500 | 60 |
| | | | 4500 | 4000 | 3500 | 64 |
| | | | 4500 | 4000 | 3500 | 80 |
| | | | 4500 | 4000 | 3500 | 100 |
| | | | 4500 | 4000 | 3500 | 120 |
| | | | 4500 | 4000 | 3500 | 160 |
| | | | 4500 | 4000 | 3500 | 200 |
| | | | 4500 | 4000 | 3500 | 256 |
| | | | 4500 | 4000 | 3500 | 320 |
| | | | 4500 | 4000 | 3500 | 512 |

| Taille | Taglia | | PLE 60/70 | PLE 80/90 | PLE 120/115 | i ⁽¹⁾ |
|---|---|-------------------|-----------|-----------|-------------|------------------|
| Vitesse d'entrée recommandée 100% T _{2N} et S ₁ ⁽²⁾⁽³⁾ | Velocità in ingresso consigliate col 100% di T _{2N} e S ₁ ⁽²⁾⁽³⁾ | min ⁻¹ | 3900 | 2200 | 2500 | 3 |
| | | | 3900 | 2000 | 2250 | 4 |
| | | | 4350 | 2450 | 2250 | 5 |
| | | | 4500 | 4000 | 3500 | 8 |
| | | | 4500 | 2600 | 2500 | 9 |
| | | | 4500 | 3350 | 2500 | 12 |
| | | | 4500 | 4000 | 3250 | 15 |
| | | | 4500 | 4000 | 3000 | 16 |
| | | | 4500 | 4000 | 3500 | 20 |
| | | | 4500 | 4000 | 3500 | 25 |
| | | | 4500 | 4000 | 3500 | 32 |
| | | | 4500 | 4000 | 3500 | 40 |
| | | | 4500 | 4000 | 3500 | 60 |
| | | | 4500 | 4000 | 3500 | 64 |
| | | | 4500 | 4000 | 3500 | 80 |
| | | | 4500 | 4000 | 3500 | 100 |
| | | | 4500 | 4000 | 3500 | 120 |
| | | | 4500 | 4000 | 3500 | 160 |
| | | | 4500 | 4000 | 3500 | 200 |
| | | | 4500 | 4000 | 3500 | 256 |
| | | | 4500 | 4000 | 3500 | 320 |
| | | | 4500 | 4000 | 3500 | 512 |

⁽¹⁾ rapports(i=n_{an}/n_{ab})

⁽²⁾ la température d'utilisation maximale ne doit pas être dépassée; autres vitesses d'entrée sur demande

⁽³⁾ Définition, voir page 129

⁽¹⁾ rapporti(i=n_{an}/n_{ab})

⁽²⁾ occorre rimanere entro le temperature ammesse; altre velocità d'ingresso a richiesta

⁽³⁾ definizione a pagina 130

Série PLE

Données techniques

Serie PLE

Dati tecnici



| Taille | Taglia | | PLE 40 | PLE 60 | PLE 80 | PLE 120 | PLE 160 | i ⁽¹⁾ |
|------------------------|------------------------|-------------------|--------|--------|--------|---------|---------|------------------|
| Inertie ⁽²⁾ | Inerzia ⁽²⁾ | kgcm ² | 0,031 | 0,135 | 0,77 | 2,63 | 12,14 | 3 |
| | | | 0,022 | 0,093 | 0,52 | 1,79 | 7,78 | 4 |
| | | | 0,019 | 0,078 | 0,45 | 1,53 | 6,07 | 5 |
| | | | 0,017 | 0,065 | 0,39 | 1,32 | 4,63 | 8 |
| | | | 0,030 | 0,131 | 0,74 | 2,62 | - | 9 |
| | | | 0,029 | 0,127 | 0,72 | 2,56 | 12,37 | 12 |
| | | | 0,023 | 0,077 | 0,71 | 2,53 | 12,35 | 15 |
| | | | 0,022 | 0,088 | 0,50 | 1,75 | 7,47 | 16 |
| | | | 0,019 | 0,075 | 0,44 | 1,50 | 6,65 | 20 |
| | | | 0,019 | 0,075 | 0,44 | 1,49 | 5,81 | 25 |
| | | | 0,017 | 0,064 | 0,39 | 1,30 | 6,36 | 32 |
| | | | 0,016 | 0,064 | 0,39 | 1,30 | 5,28 | 40 |
| | | | 0,029 | 0,076 | 0,51 | 2,57 | - | 60 |
| | | | 0,016 | 0,064 | 0,39 | 1,30 | 4,50 | 64 |
| | | | 0,019 | 0,075 | 0,50 | 1,50 | - | 80 |
| | | | 0,019 | 0,075 | 0,44 | 1,49 | - | 100 |
| | | | 0,029 | 0,064 | 0,70 | 2,50 | - | 120 |
| | | | 0,016 | 0,064 | 0,39 | 1,30 | - | 160 |
| | | | 0,016 | 0,064 | 0,39 | 1,30 | - | 200 |
| | | | 0,016 | 0,064 | 0,39 | 1,30 | - | 256 |
| | | | 0,016 | 0,064 | 0,39 | 1,30 | - | 320 |
| | | | 0,016 | 0,064 | 0,39 | 1,30 | - | 512 |

⁽¹⁾ rapports(i=n_{an}/n_{ab})

⁽²⁾ L'inertie se réfère à l'arbre d'entrée

⁽¹⁾ rapporti(i=n_{an}/n_{ab})

⁽²⁾ il momento di inerzia si riferisce all'albero in ingresso

Série PLE

Données techniques

Serie PLE

Dati tecnici

| Taille | Taglia | | PLE 60/70 | PLE 80/90 | PLE 120/115 | i ⁽¹⁾ |
|------------------------|------------------------|-------------------|-----------|-----------|-------------|------------------|
| Inertie ⁽²⁾ | Inerzia ⁽²⁾ | kgcm ² | 0,135 | 0,77 | 2,63 | 3 |
| | | | 0,093 | 0,52 | 1,79 | 4 |
| | | | 0,078 | 0,45 | 1,53 | 5 |
| | | | 0,065 | 0,39 | 1,32 | 8 |
| | | | 0,131 | 0,74 | 2,62 | 9 |
| | | | 0,127 | 0,72 | 2,56 | 12 |
| | | | 0,077 | 0,71 | 2,53 | 15 |
| | | | 0,088 | 0,50 | 1,75 | 16 |
| | | | 0,075 | 0,44 | 1,50 | 20 |
| | | | 0,075 | 0,44 | 1,49 | 25 |
| | | | 0,064 | 0,39 | 1,30 | 32 |
| | | | 0,064 | 0,39 | 1,30 | 40 |
| | | | 0,076 | 0,51 | 2,57 | 60 |
| | | | 0,064 | 0,39 | 1,30 | 64 |
| | | | 0,075 | 0,50 | 1,50 | 80 |
| | | | 0,075 | 0,44 | 1,49 | 100 |
| | | | 0,064 | 0,70 | 2,50 | 120 |
| | | | 0,064 | 0,39 | 1,30 | 160 |
| | | | 0,064 | 0,39 | 1,30 | 200 |
| | | | 0,064 | 0,39 | 1,30 | 256 |
| | | | 0,064 | 0,39 | 1,30 | 320 |
| | | | 0,064 | 0,39 | 1,30 | 512 |

⁽¹⁾ rapports(i=n_{an}/n_{ab})

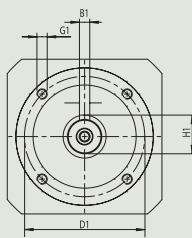
⁽²⁾ L'inertie se réfère à l'arbre d'entrée

⁽¹⁾ rapporti(i=n_{an}/n_{ab})

⁽²⁾ il momento di inerzia si riferisce all'albero in ingresso

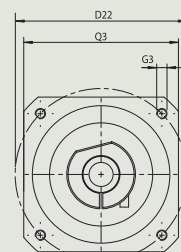
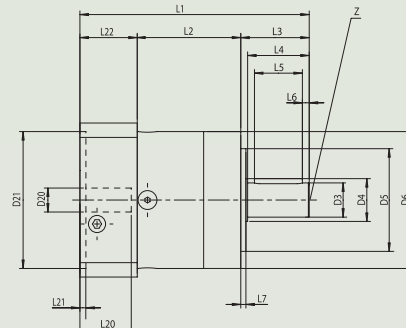
Série PLE

Dimensions



Serie PLE

Dimensioni



| Taille | Taglia | | PLE 40 | PLE 60 | PLE 80 | PLE 120 | PLE 160 | Z ⁽²⁾ |
|---|--|----|--------|--------|--------|---------|---------|------------------|
| Toutes les dimensions en mm | Tutte le misure in mm | | | | | | | |
| L1 longueur totale ⁽³⁾ | L1 Lunghezza totale ⁽³⁾ | | 93,5 | 106,5 | 134 | 176,5 | 255,5 | 1 |
| | | | 106,5 | 118,5 | 151 | 203,5 | 305 | 2 |
| | | | 119 | 131,5 | 168,5 | 230,5 | - | 3 |
| L2 longueur du corps | L2 Lunghezza corpo | | 39 | 47 | 60 | 74 | 104 | 1 |
| | | | 52 | 59 | 77,5 | 101 | 153,5 | 2 |
| | | | 64,5 | 72 | 95 | 128 | - | 3 |
| sortie | uscita | | | | | | | |
| D3 diamètre d'arbre | D3 Diametro albero | h7 | 10 | 14 | 20 | 25 | 40 | |
| L3 longueur de l'arbre / face de sortie | L3 Lunghezza albero dalla flangia di uscita | | 26 | 35 | 40 | 55 | 87 | |
| D5 centrage | D5 Centraggio | h7 | 26 | 40 | 60 | 80 | 130 | |
| D1 diamètre de perçage | D1 Diametro posizionamento fori su flangia | | 34 | 52 | 70 | 100 | 145 | |
| D4 diamètre de l'arbre | D4 Diametro base dell'albero | | 12 | 17 | 25 | 35 | 55 | |
| L4 longueur de l'arbre / épaulement | L4 Lunghezza albero dal collare | | 23 | 30 | 36 | 50 | 80 | |
| L7 longueur de bride de sortie | L7 Profondità collare di centraggio | | 2 | 3 | 3 | 4 | 5 | |
| G1 trous de fixation x profondeur ⁽¹⁾ | G1 montaggio del filetto x profondità ⁽¹⁾ | 4x | M4x6 | M5x8 | M6x10 | M10x16 | M12x20 | |
| D6 carré de la bride | D6 diametro corpo | | 40 | 60 | 80 | 115 | 160 | |
| B1 clavette DIN 6885 T1 | B1 chiavetta DIN 6885 T1 | | 3 | 5 | 6 | 8 | 12 | |
| H1 clavette DIN 6885 T1 | H1 chiavetta DIN 6885 T1 | | 11,2 | 16 | 22,5 | 28 | 43 | |
| L5 longueur clavette | L5 lunghezza chiavetta | | 18 | 25 | 28 | 40 | 65 | |
| L6 cote départ clavette | L6 Distanza dalla fine dell'albero | | 2,5 | 2,5 | 4 | 5 | 8 | |
| Z perçage central DIN 332, page 2, forme DR | Z foro di centraggio DIN 332, page 2, forma DR | | M3x9 | M5x12 | M6x16 | M10x22 | M16x36 | |
| entrée | entrata | | | | | | | |
| D20 diamètre d'arbre d'entrée ⁽¹⁾⁽⁴⁾ | D20 Sede pignone ⁽¹⁾⁽⁴⁾ | | 6 | 9 | 14 | 19 | 24 | |
| L20 longueur arbre moteur ⁽³⁾ | L20 Lunghezza albero motore ⁽³⁾ | | 25 | 23 | 30 | 40 | 50 | |
| D21 diamètre centrage moteur ⁽¹⁾ | D21 Centraggio motore ⁽¹⁾ | | 30 | 40 | 80 | 95 | 130 | |
| D22 diamètre de perçage - trous fixation ⁽¹⁾ | D22 Circonferenza fori fissaggio motore ⁽¹⁾ | | 46 | 63 | 100 | 115 | 165 | |
| G3 trous de fixation x profondeur ⁽¹⁾ | G3 montaggio del filetto x profondità ⁽¹⁾ | 4x | M4x10 | M5x12 | M6x15 | M8x20 | M10x25 | |
| L21 épaulement moteur | L21 Profondità centraggio motore | | | 3 | 2,5 | 3,5 | 3,5 | 4 |
| Q3 carré de la bride ⁽¹⁾ | Q3 Sezione flangia ⁽¹⁾ | □ | 40 | 60 | 90 | 115 | 140 | |
| L22 épaisseur flasque moteur ⁽³⁾ | L22 Lunghezza flangia porta motore ⁽³⁾ | | | 28,5 | 24,5 | 33,5 | 47,5 | 64,5 |

⁽¹⁾ dimension suivant type moteur monté, voir page 89

⁽²⁾ nombre d'étages

⁽³⁾ pour applications avec arbres moteurs plus longs L20: la longueur du flasque moteur et la longueur totale L1 seront rallongées de la même valeur que la surlongueur de l'arbre moteur

⁽⁴⁾ ajustement: j6;k6

⁽¹⁾ le dimensioni sono riferite ad un motore standard, vedere pagina 89

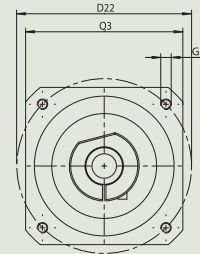
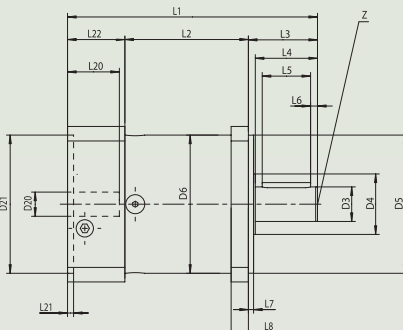
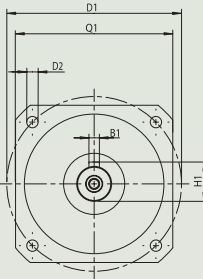
⁽²⁾ numero di stadi

⁽³⁾ per alberi motore più lunghi L20 considerare quanto segue: Le dimensioni Lunghezza flangia porta motore e altezze totali L1 anno maggiori in relazione alla maggior lunghezza dell'albero motore

⁽⁴⁾ Accoppiamento albero j6;k6

Série PLE

Dimensions



Serie PLE

Dimensioni

| Taille | Taglia | | PLE 60/70 | PLE 80/90 | PLE 120/115 | Z ⁽²⁾ |
|---|--|----|-----------|-----------|-------------|------------------|
| Toutes les dimensions en mm | Tutte le misure in mm | | | | | |
| L1 longueur totale ⁽³⁾ | L1 Lunghezza totale ⁽³⁾ | | 111,5 | 145 | 201,5 | 1 |
| | | | 124 | 162 | 228,5 | 2 |
| | | | 136,5 | 179,5 | 255,5 | 3 |
| L2 longueur du corps | L2 Lunghezza corpo | | 55 | 71,5 | 99 | 1 |
| | | | 67,5 | 88,5 | 126 | 2 |
| | | | 80 | 106 | 153 | 3 |
| sortie | uscita | | | | | |
| D3 diamètre d'arbre | D3 Diametro albero | h7 | 16 | 20 | 25 | |
| L3 longueur de l'arbre / face de sortie | L3 Lunghezza albero dalla flangia di uscita | | 32 | 40 | 55 | |
| D5 centrage | D5 Centraggio | h7 | 60 | 80 | 110 | |
| D1 diamètre de perçage | D1 Diametro posizionamento fori su flangia | | 75 | 100 | 130 | |
| D2 perçage montage | D2 Diametro fori | 4x | 5,5 | 6,5 | 8,5 | |
| D4 diamètre de l'arbre | D4 Diametro base dell'albero | | 20 | 35 | 35 | |
| L4 longueur de l'arbre / épaulement | L4 Lunghezza albero dal collare | | 28 | 36 | 50 | |
| L7 longueur de bride de sortie | L7 Profondità collare di centraggio | | 3 | 3 | 4 | |
| L8 épaisseur de bride | L8 spessore della flangia | | 10 | 10 | 15 | |
| Q1 carré de la bride | Q1 Sezione flangia | □ | 70 | 90 | 115 | |
| D6 carré de la bride | D6 diametro corpo | | 60 | 80 | 115 | |
| B1 clavette DIN 6885 T1 | B1 chiavetta DIN 6885 T1 | | 5 | 6 | 8 | |
| H1 clavette DIN 6885 T1 | H1 chiavetta DIN 6885 T1 | | 18 | 22,5 | 28 | |
| L5 longueur clavette | L5 lunghezza chiavetta | | 20 | 28 | 40 | |
| L6 cote départ clavette | L6 Distanza dalla fine dell'albero | | 4 | 4 | 5 | |
| Z perçage central DIN 332, page 2, forme DR | Z foro di centraggio DIN 332, page 2, forma DR | | M5x12 | M6x16 | M10x22 | |
| entrée | entrata | | | | | |
| D20 diamètre d'arbre d'entrée ⁽¹⁾⁽⁴⁾ | D20 Sede pignone ⁽¹⁾⁽⁴⁾ | | 9 | 14 | 19 | |
| L20 longueur arbre moteur ⁽³⁾ | L20 Lunghezza albero motore ⁽³⁾ | | 23 | 30 | 40 | |
| D21 diamètre centrage moteur ⁽¹⁾ | D21 Centraggio motore ⁽¹⁾ | | 40 | 80 | 95 | |
| D22 diamètre de perçage - trous fixation ⁽¹⁾ | D22 Circonferenza fori fissaggio motore ⁽¹⁾ | | 63 | 100 | 115 | |
| G3 trous de fixation x profondeur ⁽¹⁾ | G3 montaggio del filetto x profondità ⁽¹⁾ | 4x | M5x8 | M6x15 | M8x20 | |
| L21 épaulement moteur | L21 Profondità centraggio motore | | 2,5 | 3,5 | 3,5 | |
| Q3 carré de la bride ⁽¹⁾ | Q3 Sezione flangia ⁽¹⁾ | □ | 60 | 90 | 115 | |
| L22 épaisseur flasque moteur ⁽³⁾ | L22 Lunghezza flangia porta motore ⁽³⁾ | | 24,5 | 33,5 | 47,5 | |

⁽¹⁾ dimension suivant type moteur monté, voir page 89

⁽²⁾ nombre d'étages

⁽³⁾ pour applications avec arbres moteurs plus longs L20: la longueur du flasque moteur et la longueur totale L1 seront rallongées de la même valeur que la surlongueur de l'arbre moteur

⁽⁴⁾ ajustement: j6;k6

⁽¹⁾ le dimensioni sono riferite ad un motore standard, vedere pagina 89

⁽²⁾ numero di stadi

⁽³⁾ per alberi motore più lunghi L20 considerare quanto segue: Le dimensioni Lunghezza flangia porta motore e altezze totali L1 anno maggiori in relazione alla maggior lunghezza dell'albero motore

⁽⁴⁾ Accoppiamento albero j6;k6

OP 1: Arbre d'entrée libre
dimensions page 87

OP 1: Albero in ingresso
Ingombri pagina 87

OP 2: Montage moteur
dimensions page 89

OP 2: Montaggio motore
Ingombri pagina 89

OP 6: Arbre de sortie lisse

OP 6: Albero uscita liscio

OP 12: ATEX⁽¹⁾
Page 89

OP 12: ATEX⁽¹⁾
pagina 89

Autres options sur demande

⁽¹⁾ sur demande

Altre opzioni a richiesta

⁽¹⁾ a richiesta

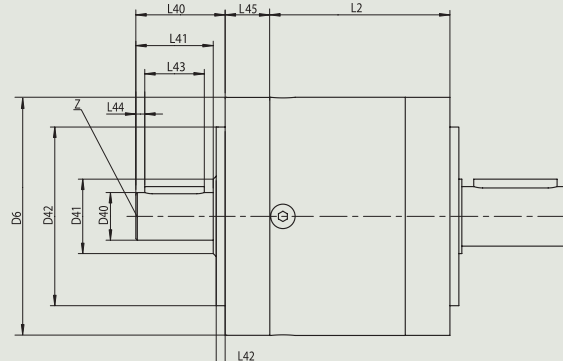
Série PLE

Options

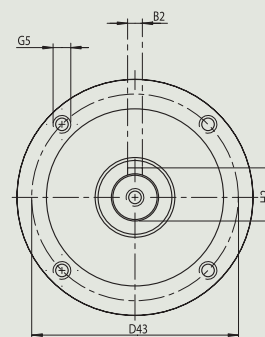
Serie PLE

Opzioni

OP 1: Arbre d'entraînement libre⁽¹⁾



OP 1: Albero in ingresso⁽¹⁾



| Taille | Taglia | | PLE 40 | PLE 60-60/70 | PLE 80-80/90 | PLE 120-120/115 | PLE 160 | Z ⁽²⁾ |
|--|---|-------------------|----------------|----------------|----------------|-----------------|----------------|------------------|
| D40 diamètre d'arbre | D40 Diametro albero | j6 | 8 | 10 | 16 | 20 | 35 | |
| L40 longueur arbre d'entrée | L40 lunghezza albero dalla flangia di ingresso | mm | 20 | 28 | 30 | 45 | 65 | |
| D42 centrage | D42 Centraggio | h7 | 26 | 40 | 60 | 80 | 110 | |
| D43 diamètre de perçage | D43 Diametro posizionamento fori su flangia | mm | 34 | 52 | 70 | 100 | 130 | |
| G5 trous de fixation x profondeur | G5 montaggio del filetto x profondità | 4x | M4x6 | M5x8 | M6x10 | M10x16 | M10x25 | |
| L42 profondeur de broche | L42 Profondità centraggio riduttore | mm | 2 | 3 | 3 | 4 | 5 | |
| D6 diamètre de bride | D6 diametro della flangia | | 40 | 60 | 80 | 115 | 160 | |
| B2 clavette DIN 6885 T1 | B2 chiavetta DIN 6885 T1 | | 2 | 3 | 5 | 6 | 10 | |
| H2 clavette DIN 6885 T1 | H2 chiavetta DIN 6885 T1 | | 8,8 | 11,2 | 18 | 22,5 | 38 | |
| L43 longueur clavette | L43 lunghezza chiavetta | | 12 | 18 | 20 | 32 | 45 | |
| L44 cote départ clavette | L44 Distanza dalla fine dell'albero | | 2,5 | 2,5 | 3 | 4 | 7 | |
| Z perçage central DIN 332, page 2, forme DR | Z foro di centraggio DIN 332, page 2, forma DR | 4x | M3x9 | M3x9 | M5x12 | M6x16 | M12x28 | |
| Vitesse en entrée max. ⁽⁴⁾ | Velocità massima in ingresso ⁽⁴⁾ | min ⁻¹ | 18000 | 13000 | 7000 | 6500 | 4500 | |
| Vitesse en entrée recommandée ⁽⁴⁾ | Velocità media in ingresso ⁽⁴⁾ | | page/pagina 80 | page/pagina 80 | page/pagina 80 | page/pagina 80 | page/pagina 80 | |
| D41 longueur de l'arbre | D41 Diametro base dell'albero | mm | 12 | 17 | 25 | 35 | 55 | |
| L41 longueur de l'arbre / épaulement | L41 Lunghezza albero dal collare | | 17 | 23 | 26 | 40 | 58 | |
| L45 épaisseur flasque d'entrée | L45 lunghezza flangia di entrata | | 10,2 | 12,7 | 15 | 31 | 58 | |
| Charge radiale sur arbre d'entrée ⁽³⁾ | Carico radiale sull'albero in uscita ⁽³⁾ | N | 100 | 250 | 450 | 1000 | 1400 | |
| Charge axiale sur arbre d'entrée ⁽³⁾ | Carico assiale sull'albero in uscita ⁽³⁾ | | 120 | 300 | 500 | 1300 | 1600 | |
| L2 longueur du corps | L2 Lunghezza corpo | | page/pagina 84 | page/pagina 84 | page/pagina 84 | page/pagina 84 | page/pagina 84 | |

⁽¹⁾ les réducteurs doivent être montés avec des flasques en entrée et en sortie

⁽²⁾ nombre d'étages

⁽³⁾ au milieu de l'arbre avec $n_1=100$ tr/min pour une durée de vie de 10.000 heures

⁽⁴⁾ la température maximale d'utilisation ne doit pas être dépassée; autres vitesses d'entrée sur demande

⁽¹⁾ i riduttori devono essere flangiati sulle flange in ingresso ed in uscita

⁽²⁾ numero di stadi

⁽³⁾ a metà dell' albero con velocità $n_1 = 1000$ rpm riferita ad una vita di 10.000 ora

⁽⁴⁾ la temperatura di funzionamento permessa deve essere mantenuta; altre velocità d'ingresso a richiesta

Série PLE

Options

Serie PLE

Opzioni



OP 1: Arbre d'entraînement libre ⁽¹⁾

OP 1: Albero in ingresso ⁽¹⁾

| Taille | Taglia | | PLE 40 | PLE 60-60/70 | PLE 80-80/90 | PLE 120-120/115 | PLE 160 | i ⁽³⁾ | Z ⁽²⁾ |
|------------------------|------------------------|-------------------|--------|--------------|--------------|-----------------|---------|------------------|------------------|
| Inertie ⁽⁴⁾ | Inerzia ⁽⁴⁾ | kgcm ² | 0,018 | 0,080 | 0,73 | 2,30 | 17 | 3 | 1 |
| | | | 0,010 | 0,048 | 0,35 | 1,85 | 12,5 | 4 | |
| | | | 0,006 | 0,037 | 0,24 | 1,42 | 11 | 5 | |
| | | | 0,005 | 0,027 | 0,18 | 1,40 | 9,5 | 8 | |
| | | | 0,017 | 0,087 | 0,73 | 2,50 | - | 9 | |
| | | | 0,016 | 0,085 | 0,36 | 2,40 | 17 | 12 | |
| | | | 0,015 | 0,039 | 0,72 | 2,40 | 17 | 15 | |
| | | | 0,009 | 0,049 | 0,35 | 1,65 | 12,3 | 16 | |
| | | | 0,007 | 0,039 | 0,25 | 1,60 | 11,7 | 20 | |
| | | | 0,007 | 0,038 | 0,25 | 1,40 | 10,8 | 25 | |
| | | | 0,005 | 0,027 | 0,18 | 1,40 | 11,4 | 32 | 2 |
| | | | 0,005 | 0,027 | 0,18 | 1,30 | 10,3 | 40 | |
| | | | 0,005 | 0,025 | 0,16 | 1,30 | 9,5 | 64 | |
| | | | 0,015 | 0,039 | 0,35 | 2,20 | - | 60 | |
| | | | 0,007 | 0,039 | 0,28 | 1,60 | - | 80 | |
| | | | 0,007 | 0,039 | 0,25 | 1,40 | - | 100 | |
| | | | 0,013 | 0,016 | 0,70 | 2,20 | - | 120 | |
| | | | 0,005 | 0,016 | 0,18 | 1,50 | - | 160 | |
| | | | 0,005 | 0,016 | 0,18 | 1,30 | - | 200 | |
| | | | 0,005 | 0,016 | 0,18 | 1,30 | - | 256 | |
| | | | 0,005 | 0,016 | 0,16 | 1,20 | - | 320 | |
| | | | 0,005 | 0,016 | 0,16 | 1,20 | - | 512 | |

⁽¹⁾ les réducteurs doivent être montés avec des flasques en entrée et en sortie

⁽²⁾ nombre d'étages

⁽³⁾ rapports(i=n_{an}/n_{ab})

⁽⁴⁾ L'inertie se réfère à l'arbre d'entrée

⁽¹⁾ i riduttori devono essere flangiati sulle flange in ingresso ed in uscita

⁽²⁾ numero di stadi

⁽³⁾ rapporti(i=n_{an}/n_{ab})

⁽⁴⁾ il momento di inerzia si riferisce all'albero in ingresso

Série PLE

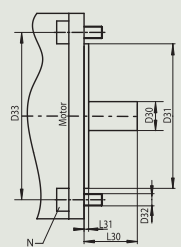
Options

Serie PLE

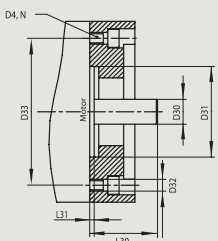
Opzioni

OP 2: Possibilités de montage du moteur

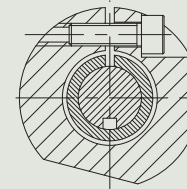
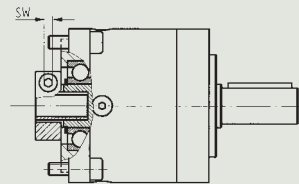
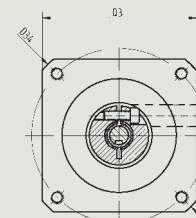
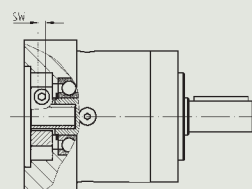
B5



B14



OP 2: Tipi possibili di montaggio motore



| Taille | Taglia | | PLE 40 | PLE 60-60/70 | PLE 80-80/90 | PLE 120-120/115 | PLE 160 | Z ⁽²⁾ |
|---|--|--------------------------|-------------------|-------------------------|---------------------------------|---------------------------------|------------------|------------------|
| D30 diamètre arbre moteur ⁽¹⁾⁽⁵⁾ | D30 Diametro albero ⁽¹⁾⁽⁵⁾ | mm | 4/5/6/6,35/8/9/11 | 6/6,35/8/9,525/11/14/19 | 9,525/10/11/12/12,7/14/16/19/24 | 11/12,7/14/15,87/16/19/22/24/35 | 19/24/28/32/35 | |
| L30 longueur arbre moteur ⁽¹⁾ | L30 Lunghezza albero motore minima ⁽¹⁾ | | 16 | 17 | 23 | 25 | 32 | |
| D31 épaulement moteur ⁽³⁾ | D31 Collare centraggio motore ⁽³⁾ | | toutes/qualsiasi | toutes/qualsiasi | toutes/qualsiasi | toutes/qualsiasi | toutes/qualsiasi | |
| D33 diamètre de perçage ⁽³⁾ | D33 Circonferenza fori fissaggio motore ⁽³⁾ | | toutes/qualsiasi | toutes/qualsiasi | toutes/qualsiasi | toutes/qualsiasi | toutes/qualsiasi | |
| D4 perçage ⁽³⁾ | D4 Sede pignone ⁽³⁾ | | toutes/qualsiasi | toutes/qualsiasi | toutes/qualsiasi | toutes/qualsiasi | toutes/qualsiasi | |
| type moteur ⁽¹⁾ | Motore tipo ⁽¹⁾ | | B5/B14 | B5/B14 | B5/B14 | B5/B14 | B5/B14 | |
| D32 perçage ⁽³⁾ | D32 Sede pignone ⁽³⁾ | | toutes/qualsiasi | toutes/qualsiasi | toutes/qualsiasi | toutes/qualsiasi | toutes/qualsiasi | |
| G4 Alésage | G4 Filetto | | toutes/qualsiasi | toutes/qualsiasi | toutes/qualsiasi | toutes/qualsiasi | toutes/qualsiasi | |
| N nombre de trous de fixation | N Numero di fori di montaggio | | 4 | 4 | 4 | 4 | 4 | |
| L31 profondeur épaulement | L31 Profondità collare di centraggio | | toutes/qualsiasi | toutes/qualsiasi | toutes/qualsiasi | toutes/qualsiasi | toutes/qualsiasi | |
| Q3 carré de la bride ⁽¹⁾ | Q3 Sezione flangia ⁽¹⁾ | <input type="checkbox"/> | 40 | 60 | 80-90 | 115 | 140 | |
| D34 dimension diagonale ⁽¹⁾ | D34 Dimensione della diagonale ⁽¹⁾ | mm | 54 | 80 | 116 | 145 | 185 | |
| poids moteur max. ⁽⁴⁾ | Peso motore massimo ⁽⁴⁾ | kg | 2 | 3,5 | 9 | 16,5 | 40 | |
| D30 max. diamètre d'axe moteur | D30 diametro dell'albero del motore max. | mm | 9 | 14 | 19 | 24 | 35 | |
| couple de serrage vis | Coppia chiusura vite | Nm | 2 | 4,5 | 9,5 | 16,5 | 40 | |
| SW taille de clé hexagonale | SW Dado esagonale di serraggio | mm | 2,5 | 3 | 4 | 5 | 6 | |

⁽¹⁾ autres dimensions sur demande

⁽²⁾ nombre d'étages

⁽³⁾ compatibles avec les dimensions flasque données

⁽⁴⁾ pour montage horizontal et stationnaire

⁽⁵⁾ ajustement: j6; k6

⁽¹⁾ altre dimensioni a richiesta

⁽²⁾ numero di stadi

⁽³⁾ se possibile, dare anche le dimensioni della flangia

⁽⁴⁾ riferito alla posizione di montaggio orizzontale e statica

⁽⁵⁾ tolleranza albero richiesta j6;k6

OP 12: ATEX

conformité ATEX selon ATEX 94/9/EG
pour le groupe II,
catégorie 2G/3G
Classe de température : T4 X

les caractéristiques de puissance changeront,
demander fiche technique spécifique

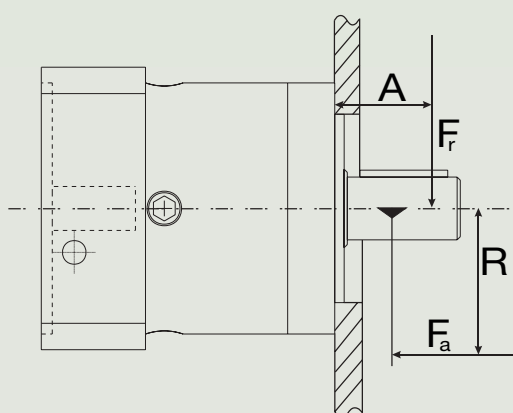
OP 12: ATEX

Adatto secondo ATEX in base alla Direttiva ATEX 94/9/CE
per il gruppo II,
categoria 2G/3G
classe di temperatura: T4 X

I dati e le prestazioni cambiano: richiedere il foglio di dati separato!

Série PLE

Calcul de la durée de vie du roulement de l'arbre moteur



Serie PLE

Calcolo della vita del cuscinetto di uscita

1 ère étape : calculer F_L avec les formules suivantes
Passo 1: calcolare F_L con la seguente formula

$$F_{rL} = \frac{F_a \times R + F_r \times (A + C_2)}{C_1}$$

2 ème étape : déterminer rapport de forces
Passo 2: calcolare la forza proporzionale

$$e = \frac{F_a}{F_{rL}}$$

Veuillez consulter Neugart si $e > 0,22$
Pregasi contattare Neugart, qualora $e > 0,22$

3 ème étape : calculer la durée de vie

Passo 3: calcolare la durata

$$L_h = \frac{16666}{n} \times \left(\frac{C_L}{F_{rL}} \right)^3$$

Symboles des formules

| | | |
|-------|-------------------|--|
| L_h | h | Durée de vie |
| F_a | N | Charge axiale de l'arbre moteur |
| F_r | N | Charge radiale de l'arbre moteur |
| R | mm | Distance centre du réducteur-chARGE axiale |
| A | mm | Distance centre du réducteur - charge axiale |
| n | min ⁻¹ | Vitesse arbre de sortie |
| C_x | - | Vitesse de rotation de l'arbre de sortie |

Simboli della formula

| | | |
|-------|-------------------|--|
| L_h | h | Vita |
| F_a | N | Carico assiale sull'albero di uscita |
| F_r | N | Carico radiale sull'albero di uscita |
| R | mm | Distanza carico assiale dal centro del riduttore |
| A | mm | Distanza del carico radiale dal piano della flangia |
| n | min ⁻¹ | Velocità albero di uscita |
| C_x | - | Per le costanti del riduttore, vedasi tabella seguente |

| | | PLE 40 | PLE 60 | PLE 60/70 | PLE 80 | PLE 80/90 | PLE 120 | PLE 120/115 | PLE 160 |
|-------|----|--------|--------|-----------|--------|-----------|---------|-------------|---------|
| C_1 | mm | 10,5 | 11,5 | 13,5 | 13,8 | 19,5 | 19,5 | 44,5 | 33 |
| C_2 | mm | 12,9 | 15,5 | 23 | 19,1 | 27,5 | 27,5 | 48,5 | 47,7 |
| C_L | N | 2250 | 6050 | 9950 | 11200 | 25500 | 25500 | 25500 | 71500 |

Charge max. au milieu de l'arbre de sortie

Carico max sulla metà dell'albero di uscita

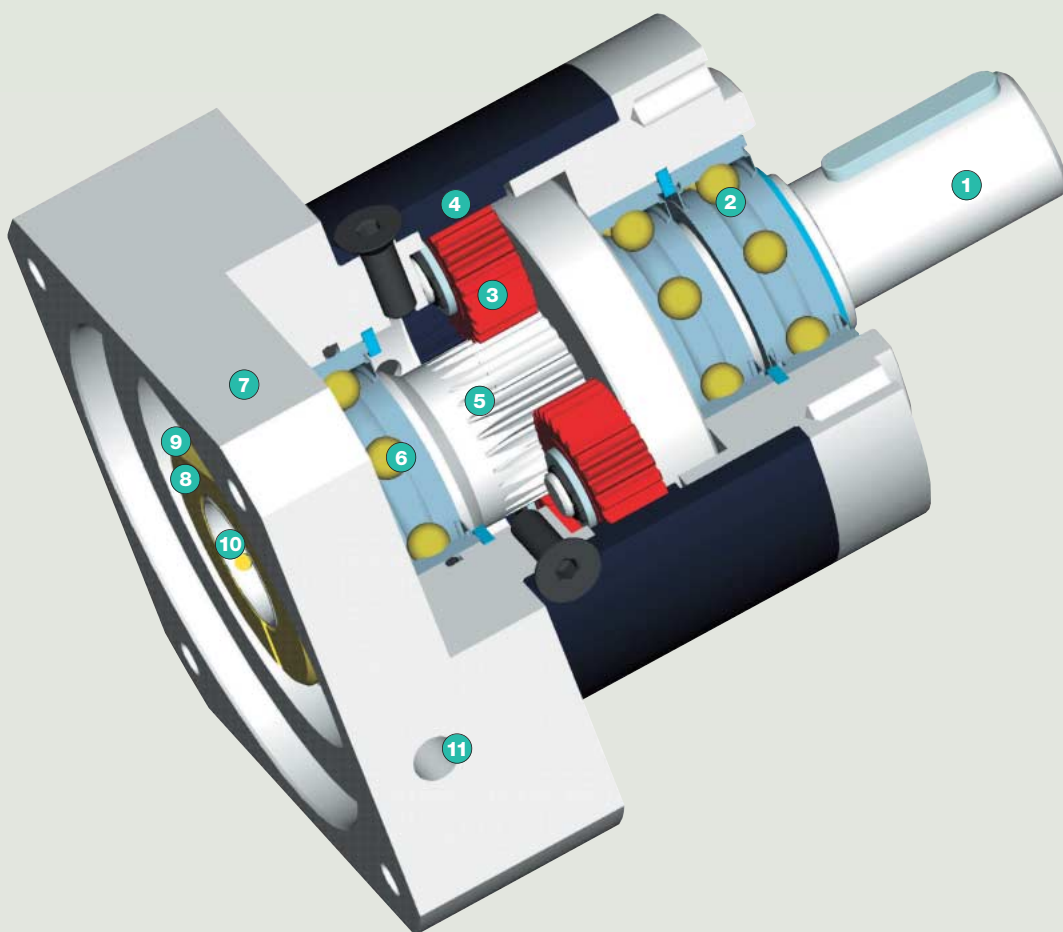
| | | PLE 40 | PLE 60 | PLE 60/70 | PLE 80 | PLE 80/90 | PLE 120 | PLE 120/115 | PLE 160 |
|-------|---|--------|--------|-----------|--------|-----------|---------|-------------|---------|
| F_r | N | 200 | 500 | 1000 | 950 | 2500 | 2000 | 3500 | 6000 |
| F_a | N | 200 | 600 | 1200 | 1200 | 2800 | 2800 | 2800 | 8000 |

Série PLE

Vue de coupe

Serie PLE

Disegno in sezione



- 1 arbre de sortie**
porte satellite monobloc et arbre de sortie à forte résistance aux charges
- 2 palier sur arbre de sortie**
roulements à billes rainurés avec joints d'étanchéité par contact
- 3 roue planétaire**
roues planétaires de précision à denture droite avec profil modifié optimisé et bombé de denture ; cémenté et finition honing
- 4 carter et couronne de train planétaire monobloc**
couronne traitée thermique pour une capacité de charge accrue, usure minimum, et jeu régulier
- 5 roue solaire**
profil de denture optimisé et à finition haute précision, durci par traitement thermique, finition honing pour une grande résistance aux contraintes, faible bruit de fonctionnement, usure minimale et jeu de torsion régulier
- 6 roulement pour roue solaire**
roulement à billes rainuré grande vitesse pour éviter les contraintes de pression dues à la dilatation thermique, avec position exacte de la roue solaire pour un montage simple
- 7 flasque de montage**
permert d'adapter le réducteur à pratiquement tous les servo-moteurs, réalisé en aluminium pour une plus grande conductivité thermique
- 8 bague de serrage**
bagu de serrage en acier supportant des régimes élevés, résistant aux importants efforts de serrage et transmettant les couples en toute sécurité
- 9 vis de serrage**
vis en acier hautement résistante munie d'un pas fin pour supporter les importants efforts de serrage
- 10 PCS System**
système de serrage haute précision breveté équipé de plusieurs fentes fermées - le système le plus fiable et le plus précis proposé sur le marché
- 11 perçage pour montage**
alésage d'accès pour la vis de serrage
- 1 albero di uscita**
Gruppo costruttivo ad alta potenza, composto da portaplanetari integrato con l'albero di uscita
- 2 cuscinetto albero uscita**
Grossi cuscinetti a sfera con anello di tenuta.
- 3 ingranaggio planetario**
Ingranaggio di precisione senza angolo di elica, con profilo modificato e ottimizzato; carter temprato e rifinito con levigatura.
- 4 Carcassa con corona dentata integrata**
Carcassa con corona dentata temprata e rifinita con levigatura per un'alta resistenza alle sollecitazioni, un'usura minima e un gioco omogeneo sui fianchi
- 5 ingranaggio solare**
Profilo dell'ingranaggio ottimizzato con lavorazione di precisione, temprato e rifinito con levigatura per un'alta resistenza alle sollecitazioni, funzionamento silenzioso, usura minima e gioco omogeneo sui fianchi
- 6 cuscinetto ingranaggio solare**
Cuscinetti a sfera ad alta velocità in versione sospesa per eliminare carichi di spinta dovuti all'espansione termica, garantiscono l'esatto posizionamento della ruota solare e facilitano il montaggio.
- 7 flangia di adattamento**
Fatta in alluminio per maggiore dispersione di calore, consente di accoppiare il riduttore con praticamente qualsiasi tipo di motore esistente
- 8 calettatore**
Calettatore bilanciato adatto per le alte velocità, fatto in acciaio per permettere elevate coppie di serraggio per una sicura trasmissione della coppia.
- 9 vite di bloccaggio**
Vite in acciaio molto robusta, con uno speciale passo ridotto, per consentire alta coppia di calettamento.
- 10 Sistema PCS**
Sistema brevettato di serraggio di precisione a più scanalature chiuse; il sistema più affidabile e all'avanguardia esistente sul mercato.
- 11 fori di fissaggio**
Foro per accesso a vite di calettamento

PLE 80 - 25 / MOTOR - OP 2

Type de réducteur /
Tipo di riduttore

PLE 40; PLE 60; PLE 80; PLE 80/90;
PLE 120; PLE 120/115; PLE 160;
PLE 60/70

Rapport de Réduction i /
Rapporto di riduzione i

1-étage / 1-stadio:
3; 4; 5; 8
2-étage / 2-stadio:
9; 12; 15; 16; 20; 25; 32; 40; 64
3-étage / 3-stadio:
60; 80; 100; 120; 160; 200; 256; 320; 512

Désignation moteur / **Tipo di motore**
type fabricant / (costruttore e modello)

Options **Opzioni**

- | | | |
|--------|----------------------------|----------------------|
| OP 1: | Arbre d'entraînement libre | Albero in ingresso |
| OP 2: | Montage moteur | Montaggio motore |
| OP 6: | Arbre de sortie lisse | Albero uscita liscio |
| OP 12: | ATEX | ATEX |

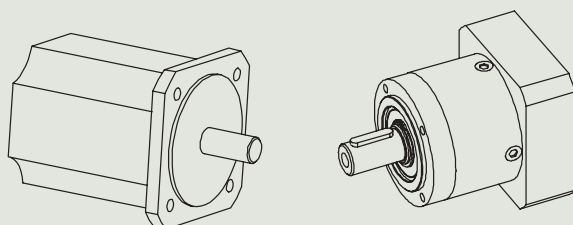
Série PLE

Instructions de montage B5

Serie PLE

Istruzioni di montaggio B5

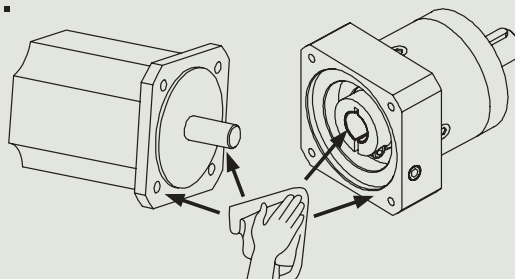
1.



DIN 42955-R

Moteur adapté ? / È il motore giusto? Réducteur adapté ? / È il riduttore giusto?

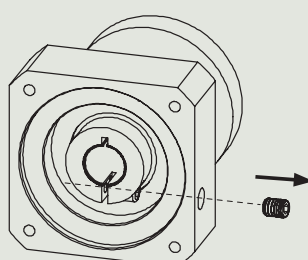
2.



Retirer la graisse / Eliminare tutto il grasso

Reprendre tout défaut / Ripristinare da danni eventuali

3.

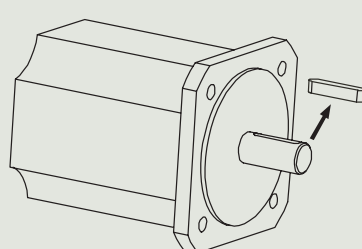


Retirer la vis de protection / Togliere il coperchio della vite

Ajuster le positionnement de la vis de serrage /

Aggiustare la posizione della vite di calettamento

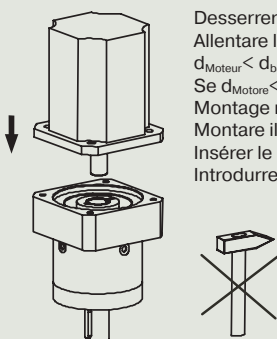
4.



Si le moteur à une clavette, la retirer /

Se il motore ha la chiavetta, toglierla

5.



Desserter la vis de serrage /

Allentare la vite del calettatore

$d_{Moteur} < d_{bague serrage}$: utiliser entretoise /

Se $d_{Moteur} < d_{Calettatore}$: usare una boccola

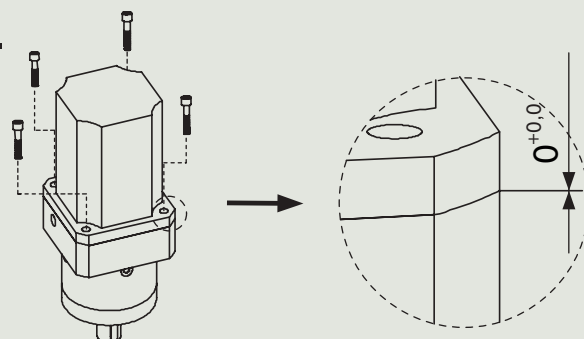
Montage moteur plutôt en position verticale /

Montare il motore preferibilmente in posizione verticale /

Insérer le moteur dans le réducteur /

Introdurre il motore nel riduttore

6.



La bride moteur doit se trouver en contact avec la bride du réducteur /

Far combaciare flangia motore con flangia riduttore

Utiliser des vis à résistance minimale de 8.8, les vis doivent être

bloquées ; couple de serrage ($T_{A,S}$) des vis : utiliser 90% de la limite d'élasticité

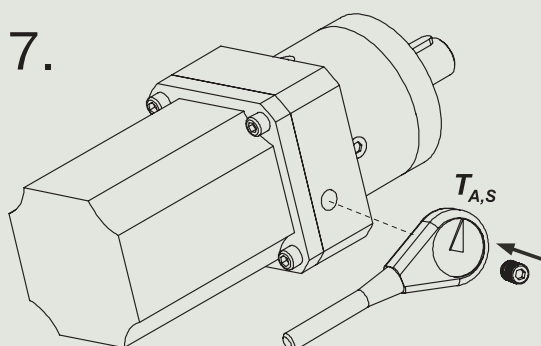
des vis, serrer les vis avec $T_{A,S}$ en croix /

Utilizzare viti con una classe di resistenza minima di 8.8; fissare le viti;

coppia di serraggio ($T_{A,S}$) della vite: utilizzare il 90% del limite di elasticità,

serrare le viti a $T_{A,S}$ e in sequenza incrociata

7.



$T_{A,S}$

Serrer la vis de la bague de serrage au couple $T_{A,S}$ / Stringere il calettatore con $T_{A,S}$

Visser la vis de protection / Chiudere la vite del coperchio

| Réducteur Riduttore | PLE 40 | PLE 60-60/70 | PLE 80-80/90 | PLE 120-120/115 | PLE 160 |
|------------------------|--------|--------------|--------------|-----------------|---------|
| $T_{A,S}$ [Nm] | 2 | 4,5 | 4,5 | 9,5 | 9,5 |
| SW [mm] | 2,5 | 3 | 3 | 4 | 4 |

Série PLE

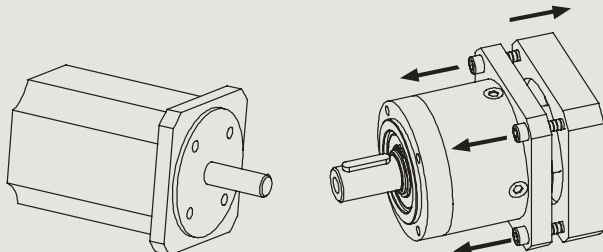
Instructions de montage B14

Serie PLE

Istruzioni di montaggio B14



1.



DIN 42955-R

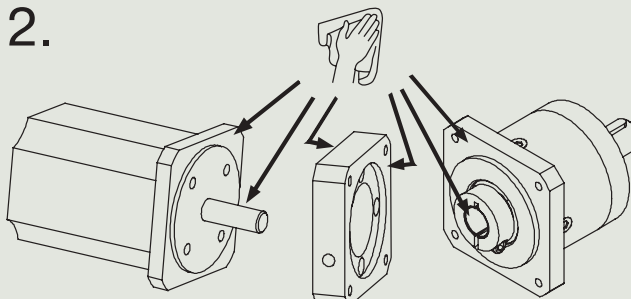
Moteur adapté ? / È il motore giusto?

Réducteur adapté ? / È il riduttore giusto?

Démonter la plaque d'adaptation si déjà montée /

Togliere la flangia di adattamento, se è montata

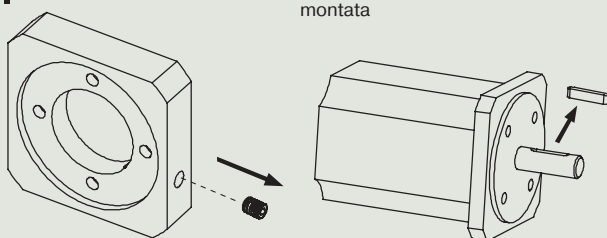
2.



Retirer la graisse / Eliminare tutto il grasso

Reprendre tout défaut / Ripristinare da danni eventuali

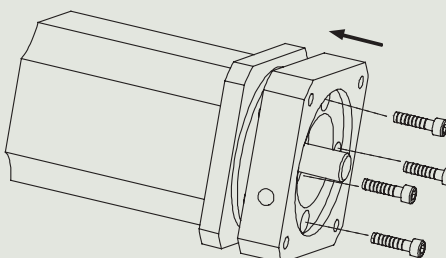
3.



Retirer la vis de protection / Togliere il coperchio della vite

Si le moteur à une clavette, la retirer / Se il motore ha la chiavetta, toglierla

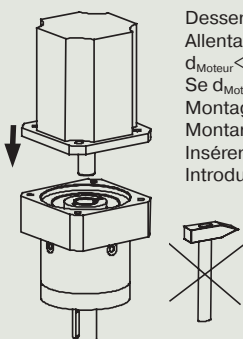
4.



Monter la plaque d'adaptation sur le moteur /

Montare la flangia di adattamento al motore

5.



Desserrer la vis de serrage /

Allentare la vite del calettatore

$d_{Moteur} < d_{bague serrage}$: utiliser entretoise /

Se $d_{Moteur} < d_{calettatore}$: usare una boccola

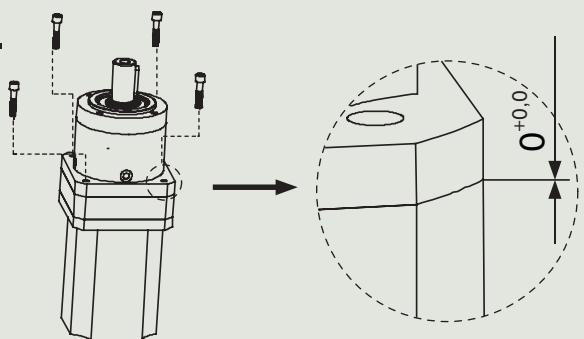
Montage moteur plutôt en position verticale /

Montare il motore preferibilmente in posizione verticale

Insérer le moteur dans le réducteur /

Introdurre il motore nel riduttore

6.



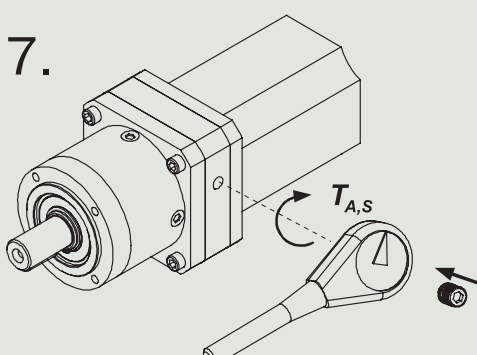
La bride moteur doit se trouver en contact avec la bride du réducteur /

Far combaciare flangia motore con flangia riduttore

Utiliser des vis à résistance minimale de 8.8, les vis doivent être bloquées ; couple de serrage ($T_{A,S}$) des vis : utiliser 90% de la limite d'élasticité des vis, serrer les vis avec $T_{A,S}$ en croix /

Utilizzare viti con una classe di resistenza minima di 8.8; fissare le viti; coppia di serraggio ($T_{A,S}$) della vite: utilizzare il 90% del limite di elasticità, serrare le viti a $T_{A,S}$ e in sequenza incrociata

7.



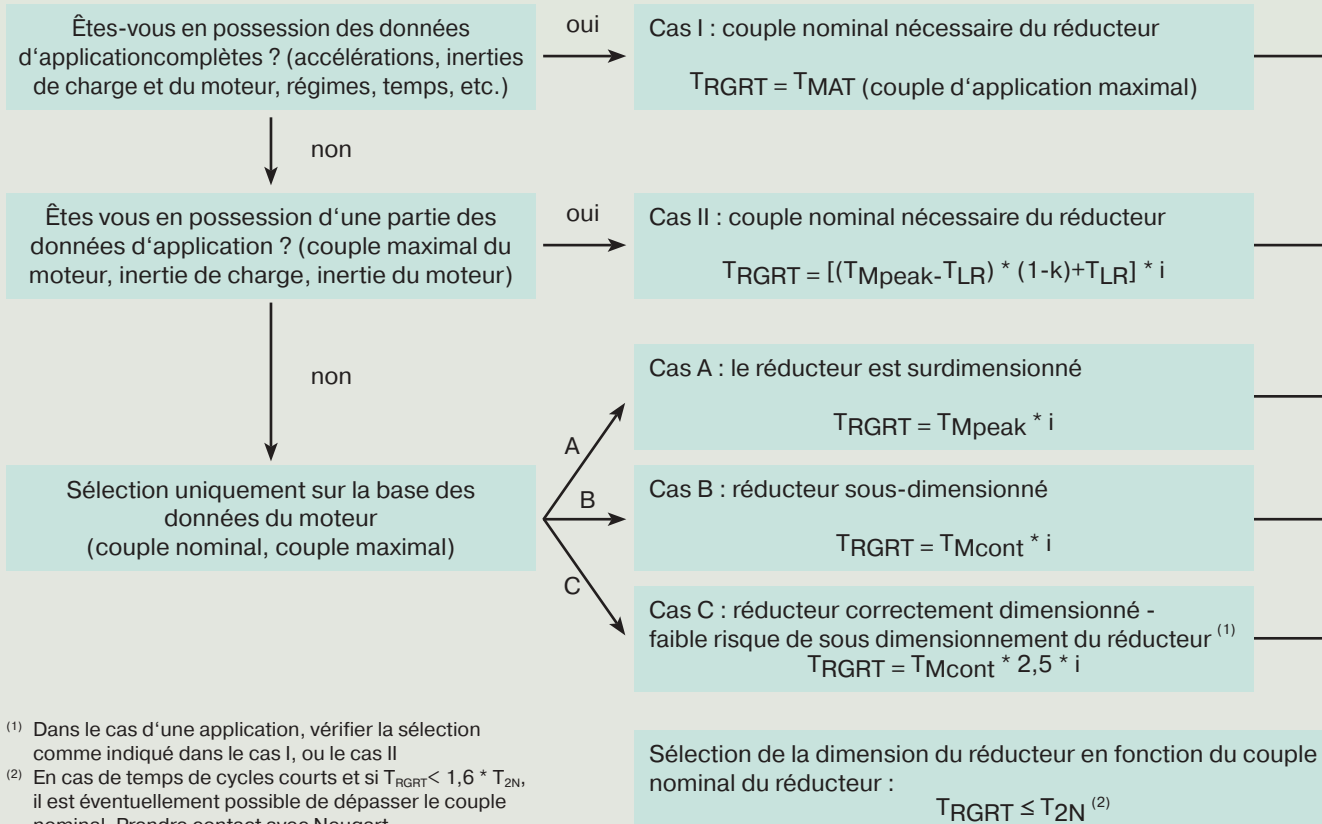
Serrer la vis de la bague de serrage au couple $T_{A,S}$ / Stringere il calettatore con $T_{A,S}$

Visser la vis de protection / Chiudere la vite del coperchio

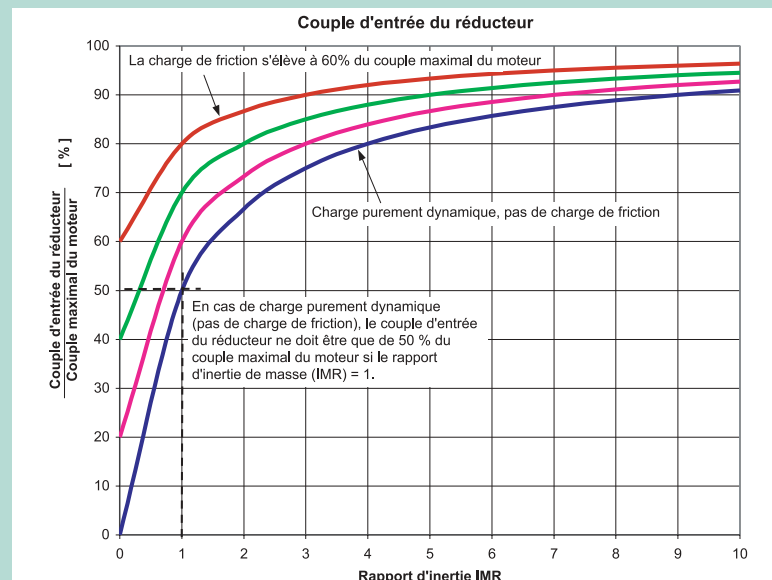
| Réducteur Riduttore | PLE 40 | PLE 60-60/70 | PLE 80-80/90 | PLE 120-120/115 | PLE 160 |
|------------------------|--------|--------------|--------------|-----------------|---------|
| $T_{A,S}$ [Nm] | 2 | 4,5 | 4,5 | 9,5 | 9,5 |
| SW [mm] | 2,5 | 3 | 3 | 4 | 4 |

Sélection des réducteurs

1) Calcul du couple de réducteur nécessaire



| | |
|-------------|--|
| T_{RGRT} | - couple de sortie nécessaire du réducteur |
| T_{MAT} | - couple maximal de l'application |
| T_{Mpeak} | - couple maximal du moteur |
| T_{Mcont} | - couple nominal du moteur |
| T_{2N} | - couple nominal en sortie du réducteur |
| i | - Rapport de Reduction |
| T_L | - couple résistant dépendant des frottements au niveau de la sortie |
| T_{LR} | - $T_{LR} = T_L / i$ couple résistant réduit dépendant des frottements au niveau de la sortie |
| J_M | - couple d'inertie du moteur |
| J_L | - couple d'inertie de charge |
| J_{LR} | - $J_{LR} = J_L / i^2$ couple d'inertie de charge réduit |
| k | - $k = J_M / (J_{LR} + J_M)$ paramètre d'inertie |
| IMR | - $IMR = J_{LR} / J_M$ rapport d'inertie ; étroitement lié au paramètre d'inertie k ($k = 1 / (IMR+1)$). |



2) Vérification des possibilités de montage du moteur

- Le diamètre de l'arbre est-il inférieur ou égal au diamètre maximum de l'arbre creux d'entrée du réducteur ?
- Le poids du moteur dépasse-t-il le poids maximum autorisé ?

3) Contrôler les efforts axiaux et radiaux de l'application pour le réducteur sélectionné

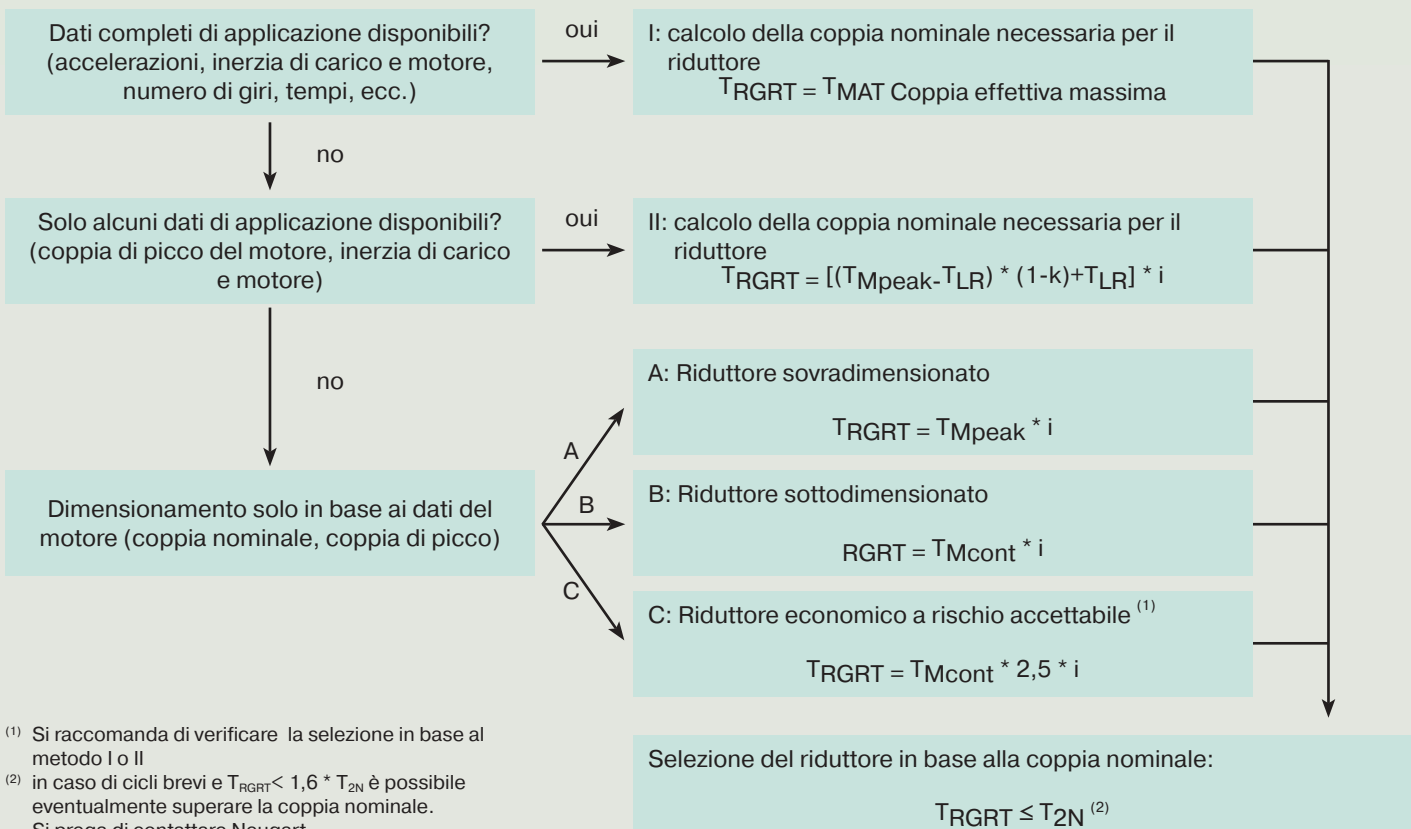
4) Contrôler les conditions de l'application - en cas de doute, contacter Neugart

- La classe de protection IP est-elle suffisante ?
- cela signifie que la vitesse est supérieure au max. recommandé
- vérifier la température de fonctionnement, est-elle supérieure au maximum recommandé

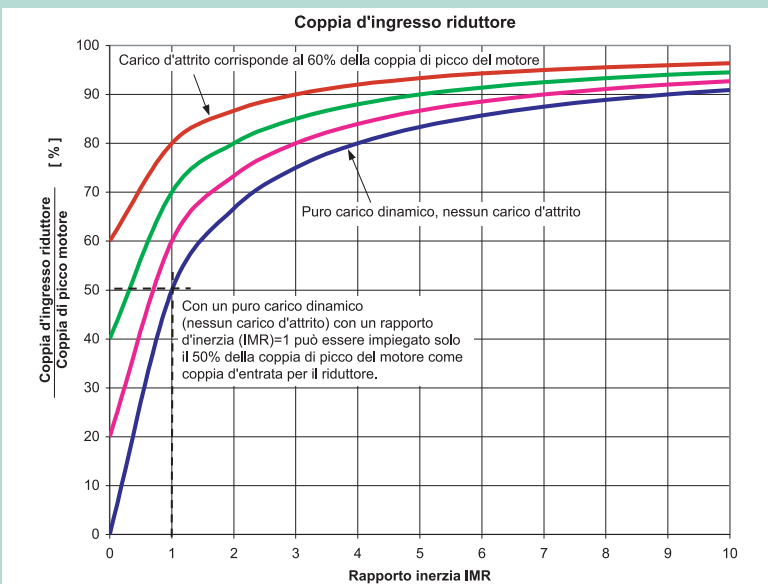
Dimensionamento riduttore



1) Calcolo della coppia necessaria per il riduttore



- T_{RGRT} - coppia d'uscita necessaria per il riduttore
- T_{MAT} - coppia effettiva di picco
- T_{Mpeak} - coppia di picco del motore
- T_{Mcont} - coppia nominale del motore
- T_{2N} - coppia in uscita nominale del riduttore
- i - Rapporto di riduzione
- T_L - coppia di attrito sull'uscita (carico statico)
- T_{LR} - $T_{LR} = T_L / i$ coppia di carico ridotta sull'uscita in funzione dell'attrito
- J_M - inerzia del motore
- J_L - Inerzia del carico
- J_{LR} - $J_{LR} = J_L / i^2$ momento d'inerzia di carico ridotto
- k - $k = J_M / (J_{LR} + J_M)$ parametri d'inerzia
- IMR - $IMR = J_{LR} / J_M$ rapporto d'inerzia; strettamente legato al parametro d'inerzia k
 $(k = 1 / (IMR+1))$.



2) Verificare la compatibilità di montaggio sul motore

- Il diametro dell'albero motore è inferiore al diametro massimo possibile del pignone del riduttore?
- Il peso del motore è quello ammesso?

3) Controllare che le forze radiali e assiali applicate all'albero di uscita siano sopportate dal cuscinetto di uscita

4) Controllare le condizioni di esercizio - in caso di dubbi contattare Neugart.

- E' sufficiente la classe di protezione IP?
- E' stato superato il numero di giri d'entrata raccomandato?
- Controllare la temperatura di esercizio del riduttore: rientra nei valori raccomandati ?

Couple de sortie maximal transmissible

Les réducteurs planétaires Neugart sont conçus pour une plage de résistance d'endurance avec T_{2N} (couple nominal). Les couples d'application restent par conséquent toujours inférieurs au couple nominal, si bien qu'aucun calcul ultérieur n'est nécessaire. Il est cependant possible de transmettre des couples d'application supérieurs en cas de brefs pics du couple ou de service discontinu prolongé.

La figure 1 permet de procéder alors à une estimation.

Facteur d'avantage en fonction du nombre de tours de l'arbre de sortie

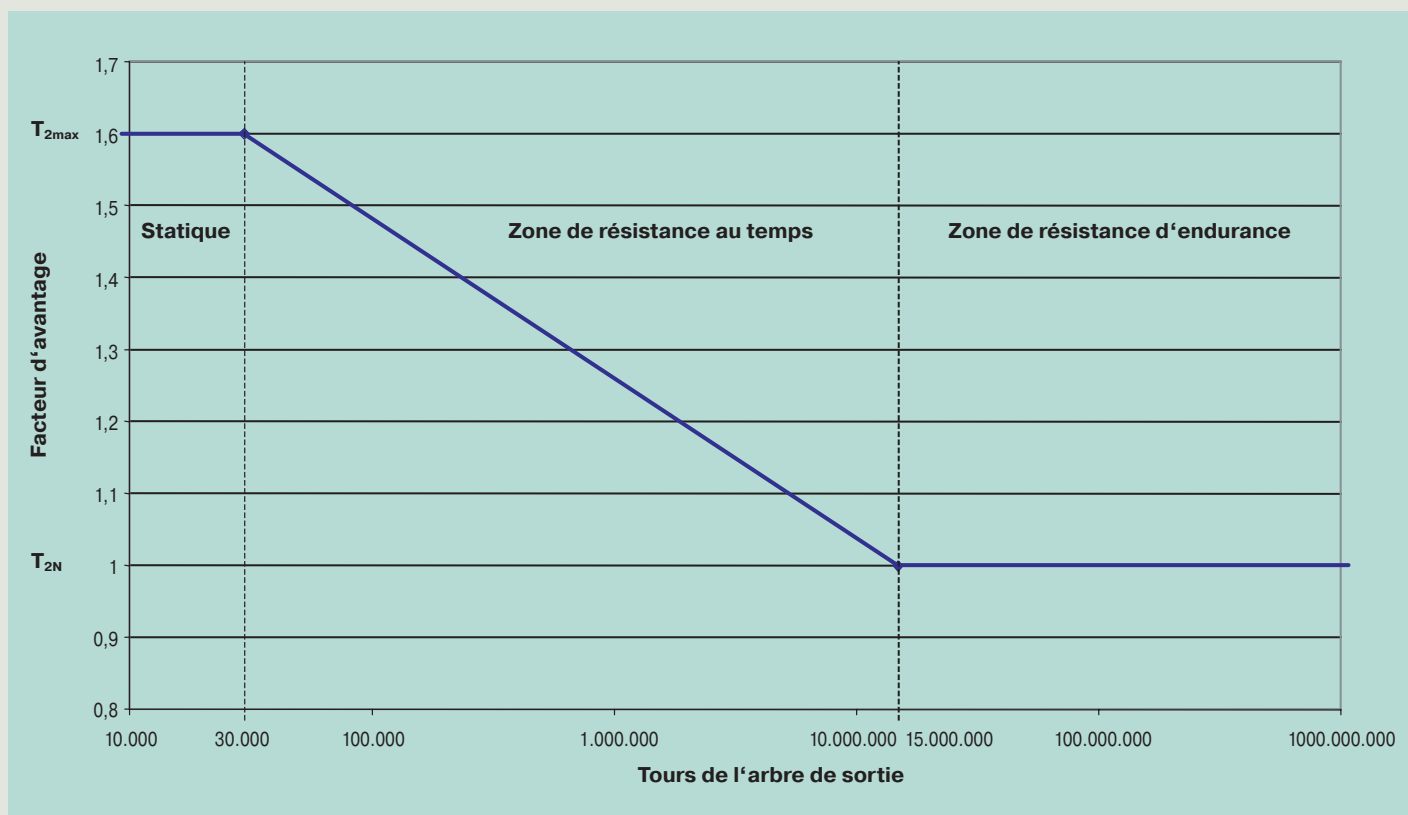


Figure 1

Le couple d'application ne doit en aucun dépasser $1,6 \cdot T_{2N}$.

Le nombre de tours de l'arbre de sortie lorsque le couple d'application est maximal doit être calculé. Si le nombre de tours (Nb) est supérieur à 15 000 000, le réducteur ne doit être soumis qu'au couple nominal du réducteur. Si le nombre de tours est inférieur à 15 000 000, le facteur d'avantage peut être calculé selon la formule suivante :

$$f = -0,1039 \cdot \ln\left(\frac{10^5}{30000} \cdot Anz\right) + 2,79$$

Si $f > 1,6$, alors le réglage sera $f = 1,6$

Si $f < 1,0$, alors le réglage sera $f = 1,0$

Le couple maximal transmissible T_{2max} du réducteur se calcule alors comme suit : $T_{2max} = f \cdot T_{2N}$

Le couple d'application maximal ne doit pas dépasser le couple de sortie maximal calculé pour le réducteur.

$T_{2max} \leq T_{2application}$

I riduttori epicicloidali Neugart sono concepiti a T_{2N} (coppia nominale) per il settore limite di fatica. Vale a dire che se le coppie di applicazione restano sempre sotto la coppia nominale, non è necessario alcun ulteriore calcolo.

Tuttavia è possibile trasmettere coppie di applicazione maggiori in caso di picchi del numero di giri di breve durata o inattività prolungata.

Per la stima utilizzare la figura 1.

Fattore di incremento in funzione del numero di giri dell'albero di uscita

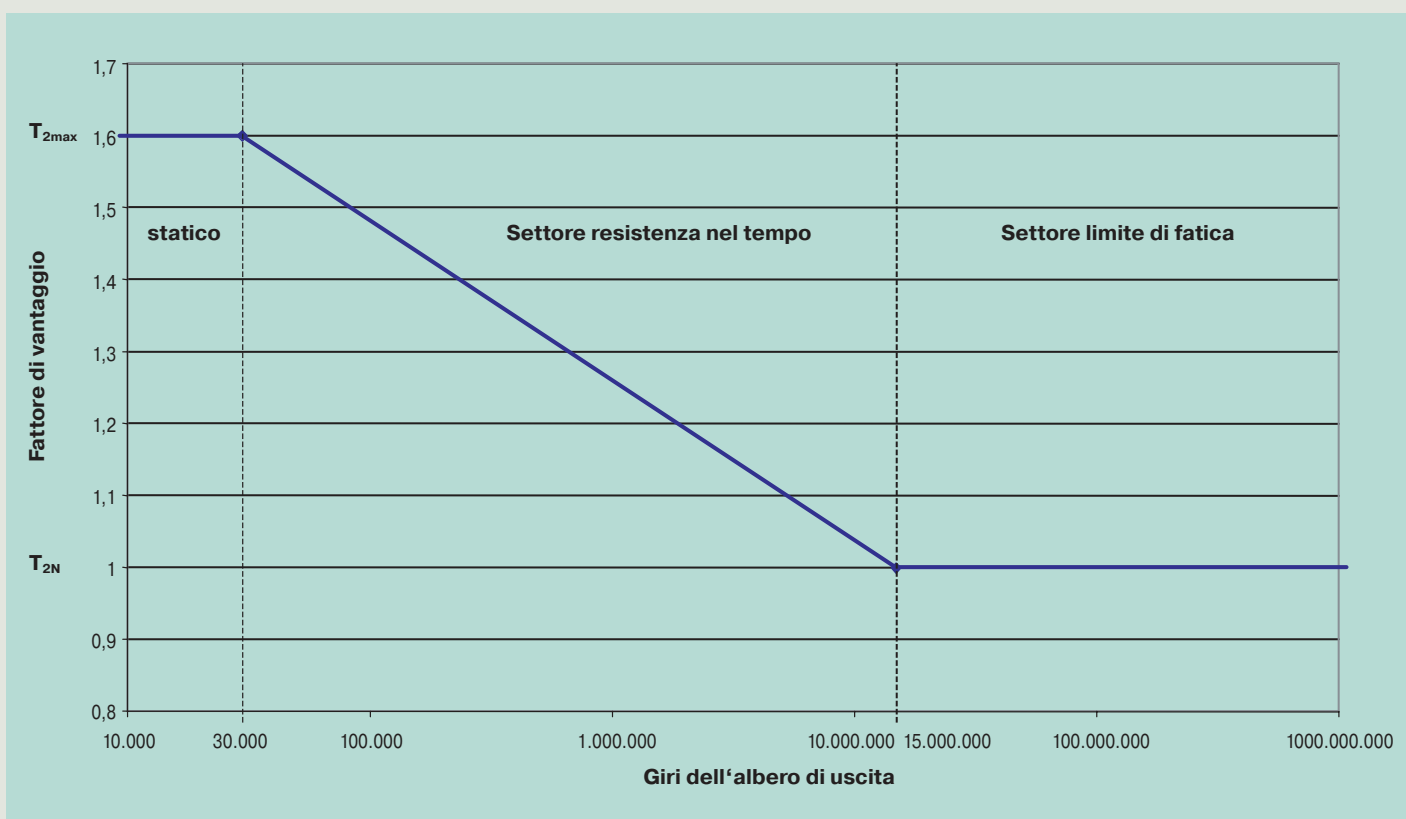


figura 1

La coppia di applicazione massima non deve superare $1,6 \cdot T_{2N}$.

Deve essere calcolato il numero dei giri dell'albero di uscita in caso di coppia di applicazione massima. Se il numero delle rotazioni (num) è maggiore di 15.000.000, il riduttore può essere caricato solo con la coppia nominale del riduttore. Se il numero delle rotazioni è minore di 15.000.000, è possibile calcolare il fattore di incremento con la formula seguente:

$$f = -0,1039 \cdot \ln\left(\frac{10^5}{30000} \cdot \text{Anz}\right) + 2,79$$

Se $f > 1,6$, viene impostato $f = 1,6$

Se $f < 1,0$, viene impostato $f = 1,0$

La coppia trasmessa massima T_{2max} del riduttore viene quindi calcolata nel modo seguente: $T_{2max} = f \cdot T_{2N}$

La coppia di applicazione massima non deve superare la coppia di uscita massima calcolata del riduttore.

$T_{2max} \leq T_{2application}$

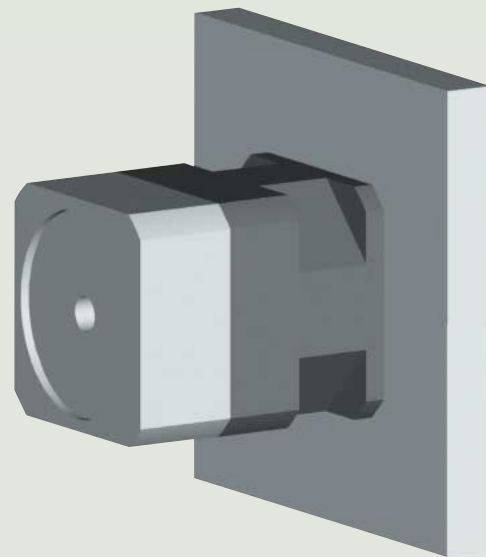
Conception thermique pour mode S1

Calcul du régime moyen:

$$n_m = \frac{n_1 \cdot t_1 + \dots + n_x \cdot t_x}{t_1 + \dots + t_x}$$

Hypothèses pour les conditions d'environnement:

- Le moteur ne réchauffe pas le réducteur
- Taille de la platine (carrée) = 2 x taille du réducteur
- Matériau de la platine : acier
- Ne rencontre pas d'obstacle
(pas de carter à proximité immédiate du réducteur)
- Température environnante : 30°C
- Raccord de platine via banc de la machine : un côté (30°C)



Pour un couple de sortie requis de 100% :

Si n_m est inférieur au régime thermique moyen pour une charge de 100%, alors le réducteur est thermiquement adapté.

Pour un couple de sortie requis de 50% :

Si n_m est inférieur au régime thermique moyen pour une charge de 50%, alors le réducteur est thermiquement adapté.

En cas de conditions défavorables, il convient de réduire les régimes ou de prendre contact avec Neugart.

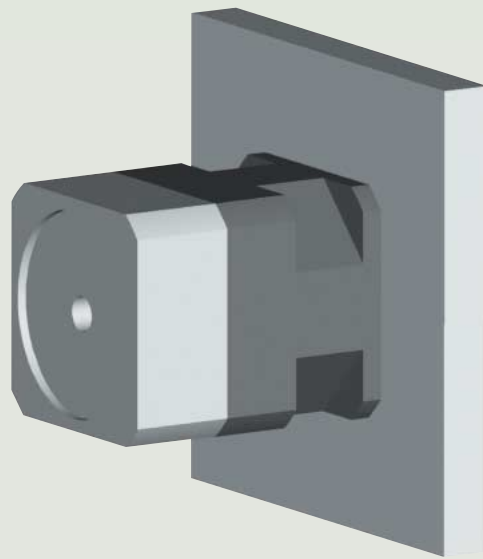
| | | |
|---------------------|---------------------|--|
| table de conversion | 1 mm | 0.0394 in |
| | 1 N | 0.225 lb _f |
| | 1 kg | 2.205 lb |
| | 1 Nm | 8.85 in lb |
| | 1 kgcm ² | 8.85 x 10 ⁻⁴ in lb s ² |

Calcolo del numero di giri medio:

$$n_m = \frac{n_1 \cdot t_1 + \dots + n_x \cdot t_x}{t_1 + \dots + t_x}$$

Condizioni quadro presupposte:

- Il motore non riscalda il riduttore
- Dimensioni piastra (quadrata) = 2 x dimensioni riduttore
- Materiale piastra: acciaio
- Non viene impedita la convezione
(nessun alloggiamento nelle dirette vicinanze del riduttore)
- Temperatura ambiente: 30 °C
- Connessione piastra mediante bancale macchina:
su un solo lato (30 °C)



Per una coppia in uscita necessaria del 100%:

Se n_m è minore del numero di giri medio al 100% del carico, il riduttore è adatto dal punto di vista termico.

Per una coppia in uscita necessaria del 50%:

Se n_m è minore del numero di giri medio al 50% del carico, il riduttore è adatto dal punto di vista termico.

In caso di condizioni svantaggiose, ridurre il numero ysdi giri o consultare Neugart.

| | | |
|------------------------|---------------------|--|
| tabella di conversione | 1 mm | 0.0394 in |
| | 1 N | 0.225 lb _f |
| | 1 kg | 2.205 lb |
| | 1 Nm | 8.85 in lb |
| | 1 kgcm ² | 8.85 x 10 ⁻⁴ in lb s ² |



Neugart GmbH

Keltenstraße 16
D-77971 Kippenheim
Telefon +49 (0) 78 25/ 847-0
Telefax +49 (0) 78 25/ 847-2999
Internet www.neugart.de
E-Mail vertrieb@neugart.de